

**МІНІСТЕРСТВО ОСВІТИ І НАУКИ УКРАЇНИ**

**Український державний університет  
науки і технологій**

---

Кафедра «Інтелектуальні системи енергопостачання»

**АВТОМАТИЗАЦІЯ СИСТЕМ  
ЕЛЕКТРОПОСТАЧАННЯ**

Методичні рекомендації до лабораторної роботи

Електронний аналог  
друкованого видання

ДНІПРО  
2023

УДК 621.331

А 22

Укладачі:  
*В.М. Ляшук, Д.Р. Земський*

Експерти:  
д.т.н., проф. *О.В. Остапчук* (КПІ)  
д.т.н., проф. *Б.Є. Боднар* (УДУНТ)

Рекомендовано МКФ УЕП (протокол №3 від 15.11.2022)  
Зареєстровано НМВ УДУНТ (Підстава № 606 від 02.05.2023)

Автоматизація систем електропостачання: методичні рекомендації до лабораторної роботи / уклад.: В. М. Ляшук; Український державний університет науки і технологій. – Дніпро : УДУНТ, 2023. – 42 с.

Методичні рекомендації призначені для використання студентами всіх форм навчання спеціальності 141 Електроенергетика, електротехніка та електромеханіка під час проведення лабораторних робіт з дисципліни «Автоматизація систем електропостачання» та їх самостійної роботи, можуть бути використані слухачами інституту післядипломної освіти.

Методичні рекомендації містять основні теоретичні положення для засвоєння матеріалу, інструкції до виконання лабораторних робіт, вимоги до аналізу результатів та оформлення робіт. У методичних вказівках наведено принципові схеми експериментальних установок, завдання, рекомендації щодо проведення дослідів та самостійної обробки результатів виміру, контрольні запитання для самоперевірки.

## **ЗМІСТ**

<b>ВСТУП.....</b>	<b>4</b>
<b>ВКАЗІВКИ ДО ВИКОНАННЯ ЛАБОРАТОРНИХ РОБІТ, ОФОРМЛЕННЮ ЗВІТІВ.....</b>	<b>4</b>
Лабораторна робота №1. RC - КОЛА.....	5
Лабораторна робота №2. КОНДЕНСАТОРНІ ЕЛЕМЕНТИ ЧАСУ НА НАПІВПРОВІДНИКАХ.....	9
Лабораторна робота №3. ТРИГЕРИ НА ТРАНЗИСТОРАХ.....	16
Лабораторна робота №4. МУЛЬТИВІБРАТОР НА НАПІВПРОВІДНИКО- ВИХ ТРАНЗИСТОРАХ.....	20
Лабораторна робота №5. ОДНОВІБРАТОР НА ТРАНЗИСТОРАХ.....	24
Лабораторна робота №6. БЛОКІНГ - ГЕНЕРАТОР.....	27
Лабораторна робота №7. ФАНТАСТРОННІ ГЕНЕРАТОРИ ІМПУЛЬСІВ	34
Лабораторна робота №8. АМПЛІТУДНІ ДІОДНІ ОБМЕЖУВАЧІ.....	36
<b>СПИСОК ЛІТЕРАТУРИ.....</b>	<b>41</b>

## **ВСТУП**

Дисципліна «Автоматизація систем електропостачання» відноситься до вибіркової компоненти освітньо-професійної програми. Електротехнічні системи електроспоживання.

Методичні рекомендації до виконання лабораторних робіт сприяють досягненню наступних очікуваних результатів навчання – проводять натурні або імітаційні експерименти чи досліди в спеціально обладнаних навчальних лабораторіях з використанням устаткування, пристосованого для умов навчального процесу. У ході підготовки до кожної лабораторної роботи передбачається обов'язкове використання підручників, конспекту лекцій, а в окремих випадках і спеціальної літератури або Інтернету. Усі лабораторні роботи містять елементи дослідницького характеру.

### **ВКАЗІВКИ ДО ВИКОНАННЯ ЛАБОРАТОРНИХ РОБІТ, ОФОРМЛЕННЮ ЗВІТІВ**

1. До виконання лабораторної роботи кожний студент повинен:
  - 1.1. Пройти інструктаж з охорони праці (одноразово на початку семестру).
  - 1.2. Зробити заготовку у зошиті з лабораторних робіт.
  - 1.3. Підготуватися по основній та додатковій літературі.
2. Кожний студент зобов'язаний вести робочий зошит, у який заноситься наступне:
  - найменування та мета роботи;
  - схема електричних з'єднань;
  - таблиця для запису характеристик апаратів і приладів, використаних у лабораторній роботі;
  - графіки та характеристики (за необхідності);
  - висновки.
3. При складанні складних схем спочатку потрібно збирати силове коло, а потім-вторинні кола: керування, сигналізації, вимірю. Подавати напругу можна лише після перевірки схеми викладачем або завідувачем лабораторією.
4. До виконання роботи рекомендується приступати тільки тоді, коли чітко встановлена послідовність її виконання і розподілені обов'язки між членами бригади.
5. По закінченню роботи слід показати викладачеві результати вимірюв і побудувати по них графіки, дати характеристики, не розбираючи схеми. Після перевірки результатів схему потрібно розібрати й розмістити прилади, апаратуру й проводи в такому порядку, у якому вони були перед початком роботи.
6. Звіти в лабораторних роботах оформляються в спеціально виділених зошитах; схеми виконуються з дотриманням вимог діючих ДСТУ .
7. Звіт по лабораторній роботі представляється викладачеві на наступному черговому занятті в лабораторії.
8. Заліки по кожній лабораторній роботі здаються на занятті, або в час консультацій згідно з розкладом. Лабораторне заняття проводиться зі студентами, кількість яких, як правило, не перевищує 10 осіб. [1].

# Лабораторна робота № 1

## RC - КОЛА

**Мета роботи.** Дослідження роботи диференційних та інтегруючих кіл.

### 1. Короткі теоретичні відомості

#### 1.1. Призначення та класифікація кіл RC.

RC-кола призначені для перетворення тривалості імпульсів, які подаються на вхід RC кола від генератора імпульсів. Їх використовують у пристроях автоматики, телемеханіки та цифрової апаратури.

Якщо RC-коло скорочує тривалість вхідного імпульсу, його називають диференційним (скорочувальним). У цьому колі вихідна напруга  $U_{\text{вих}}$  знімається з активного опору (рис. 1.1, *a*). Окрім цього, конденсатор повинен заряджатися задовго до закінчення імпульсу, тому для диференційного кола має виконуватися умова:

$$\tau \ll t_i, \quad (1.1)$$

де  $\tau$  – постійна часу кола ( $\tau = RC$ );

$t_i$  – тривалість вхідного імпульсу.

Коло RC, яке подовжує тривалість імпульсу, називають інтегруючим (подовжувальним). В інтегруючому колі вихідна напруга знімається з конденсатора (рис. 1.1, *b*), який заряджається повільно при виконанні умови:

$$\tau \gg t_i. \quad (1.2)$$

#### 1.2. Дія прямокутного імпульсу на диференційне коло.

В момент надходження на вхід кола позитивного імпульсу величиною  $U_m$  (рис. 1.1, *c*), на резисторі  $R$  виділяється весь позитивний стрибок вхідної напруги  $U_m$ , так як напруга на конденсаторі  $C$  миттєво змінитися не може. Далі починає заряджатися конденсатор  $C$  за експоненціальним законом:

$$u_C = U_{\text{вих}} \left( 1 - e^{-\frac{t}{\tau}} \right) = U_m \left( 1 - e^{-\frac{t}{\tau}} \right). \quad (1.3)$$

Внаслідок цього, напруга на виході кола  $U_{\text{вих}}$  (рис. 1.1, *d*), рівна різниці  $U_{\text{вих}}$  і  $u_C$  зменшується з тією же швидкістю, з якою напруга на конденсаторі  $u_C$  збільшується. Так як, конденсатор заряджається швидко до величини вхідної напруги  $U_m$ , то напруга на виході стає рівною нулеві задовго до закінчення вхідного імпульсу.

Після закінчення вхідного імпульсу конденсатор стає підключеним через джерело живлення до резистора  $R$ . При цьому на виході з'являється напруга величиною  $U_m$  з негативною полярністю на верхньому кінці резистора  $R$  і позитивною полярністю на нижньому кінці резистора. Конденсатор швидко розряджається через резистор й напруга на виході зменшується до нуля.

Таким чином, кожний вхідний прямокутний імпульс перетворюється розглянутим колом в два експоненціальних короткочасних імпульси різної полярності.

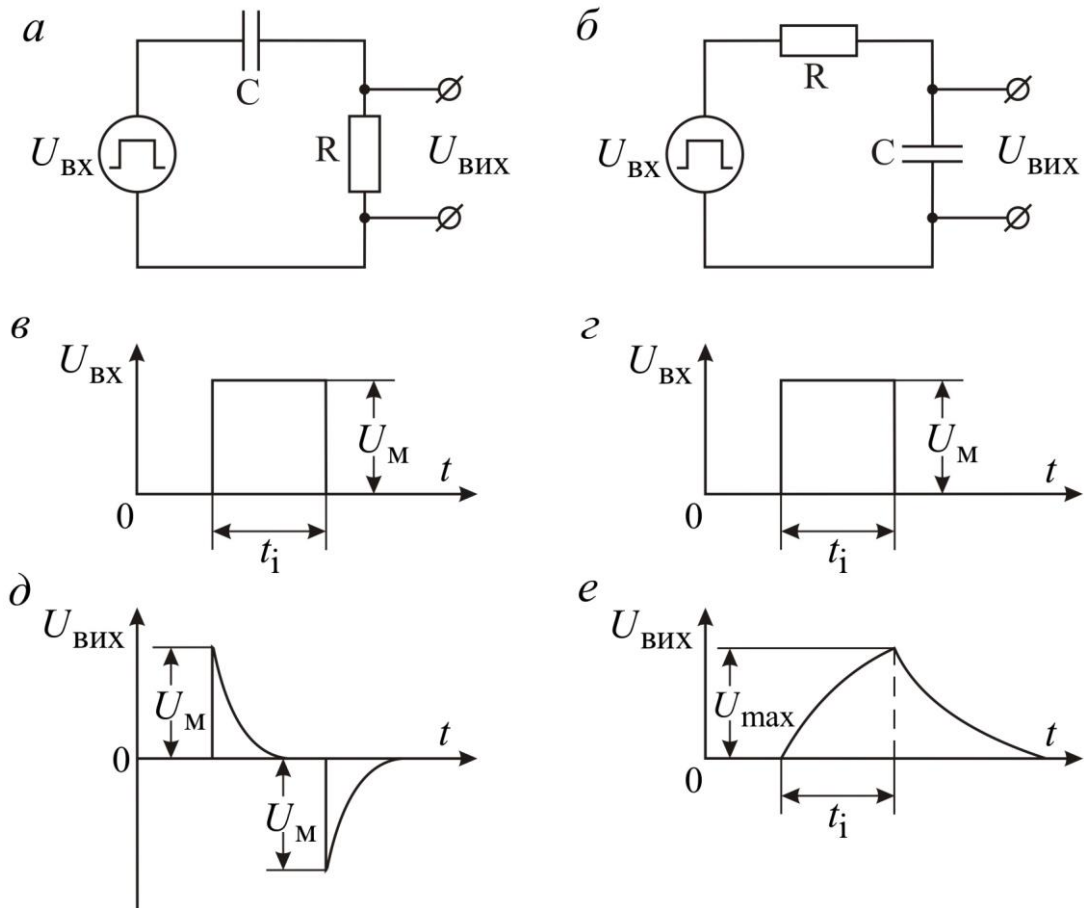


Рисунок 1.1. Дія імпульсної напруги на RC-кола: *а* – схема диференційного кола; *б* – схема інтегруючого кола; *в, г* – вхідна напруга кіл; *д, е* – напруга вихіду кіл.

### 1.3. Дія прямокутного імпульсу на інтегруюче коло.

Так як, напруга на конденсаторі *C* (рис. 1.1, *б*) миттєво змінитися не може, то в момент надходження прямокутного імпульсу (рис. 1.1, *г*) вся вхідна напруга виділяється на резисторі *R*, а вихідна напруга  $U_{\text{вих}} = u_C$  дорівнюватиме нулеві (рис. 1.1, *е*). Далі конденсатор починає повільно заряджатися ( $\tau \gg t_i$ ) за експоненціальним законом (1.3).

До моменту закінчення вхідного імпульсу конденсатор зарядиться до деякого максимального значення напруги  $U_{\max}$ , потім почне розряджатися через резистор *R*, формуючи задній фронт імпульсу. Приблизно через час  $3\tau$  після закінчення вхідного імпульсу конденсатор *C* практично розрядиться, тобто тривалість імпульсу на вихіді розглянутого кола дорівнюватиме:

$$t_{\text{вих}} = t_i + 3\tau. \quad (1.4)$$

З виразу (1.4) виходить, що RC-коло з ємнісним виходом подовжує тривалість вхідного імпульсу, а з виразу (1.5) видно, чому його називають інтегруючим.

$$U_{\text{вих}} = \frac{1}{\tau} \int_0^t U_{\text{вх}} dt \quad (1.5)$$

## 2. Порядок виконання роботи

- 2.1. Ознайомитися з короткими теоретичними відомостями.
- 2.2. Розрахувати схему реального диференційного кола (рис. 1.2). Вихідні дані для розрахунку задаються керівником лабораторних робіт за табл. 1.1.

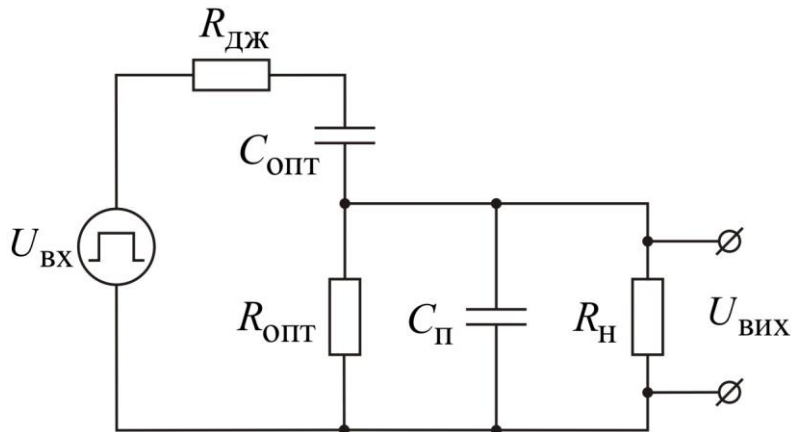


Рисунок 1.2. Схема реального диференційного кола

Таблиця 1.1

**Вихідні дані для розрахунку схеми реального диференційного кола**

Параметри	Номер варіанту									
	1	2	3	4	5	6	7	8	9	10
Активна тривалість вихідного імпульсу $t_{i_a}$ , мкс	100	120	140	150	130	140	120	150	130	100
Опір джерела прямокутних імпульсів $R_{\text{дж}}$ , кОм	4,2	3,5	2,5	3,5	4,5	3,0	3,8	4,8	5,3	3,0
Паразитна ємність підключенного навантаження $C_n$ , пФ	350	400	250	300	350	300	250	200	350	400

— визначити постійну часу кола за формулою:

$$\tau = \frac{t_{i_a}}{0,7}, \quad (1.6)$$

де  $t_{i_a}$  — активна тривалість вихідного імпульсу (проміжок часу при якому імпульсна напруга або струм перевищує деякий рівень, оцінений в долях

амплітудного значення; зазвичай активну тривалість імпульсу вимірюють на рівні 50 % від амплітудного значення), с;

– розрахувати оптимальну величину робочого опору:

$$R_{\text{опт}} = \sqrt{\frac{\tau R_{\text{дж}}}{C_n}}, \quad (1.7)$$

де  $R_{\text{дж}}$  – опір джерела прямокутних імпульсів, Ом;

$C_n$  – паразитна ємність підключенного навантаження, Ф;

– визначити оптимальну величину робочої ємності:

$$C_{\text{опт}} = \frac{\tau}{R_{\text{опт}}}. \quad (1.8)$$

2.3. Виконати моделювання схеми реального диференційного кола (рис. 1.2). Параметри схеми встановити відповідно до розрахункових одержаних в пункті 2.2. При цьому опір підключенного навантаження в схемі для всіх варіантів становить 500 кОм. Виміряти активну тривалість вихідного імпульсу. Порівняти вимірюну тривалість з розрахунковою.

2.4. Дослідити роботу диференційного та інтегруючого кола за схемою (рис. 1.3) при відповідних положеннях перемикачів.

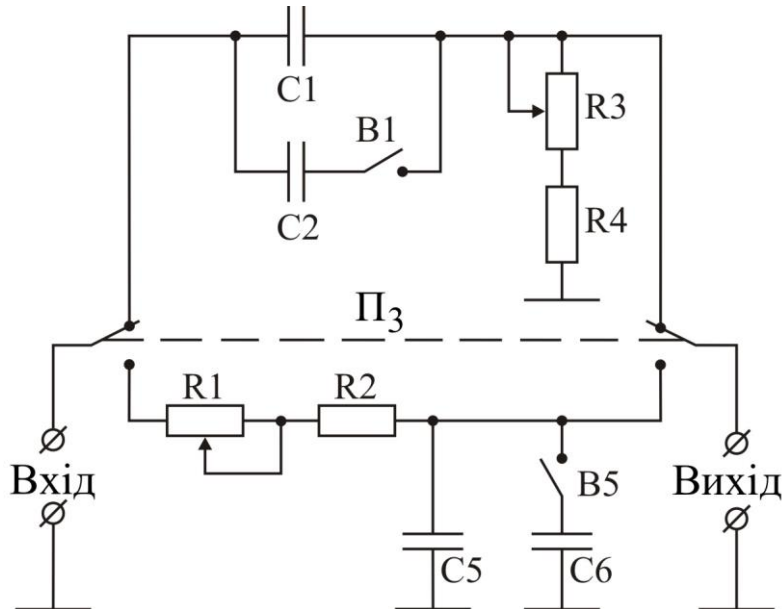


Рисунок 1.3. Схема диференційного та інтегруючого кола

2.4.1. Перемикач  $\Pi_3$  встановити в верхнє положення,  $B_1$  розімкнути. Зняти осцилограмами вихідної напруги  $U_{\text{вих}}$  при  $R_3 = \max$ ,  $R_3 = \min$ .

2.4.2. Замкнувши перемикач  $B_1$  зняти осцилограмами  $U_{\text{вих}}$  ( $R_3 = \max$ ,  $R_3 = \min$ ).

2.4.3. Встановити перемикач  $\Pi_3$  в нижнє положення,  $B_5$  розімкнути. Зняти осцилограмами  $U_{\text{вих}}$  ( $R_1 = \max$ ,  $R_1 = \min$ ).

2.4.4. Замкнувши перемикач  $B_5$ , зняти осцилограмами  $U_{\text{вих}}$  ( $R_1 = \max$ ,  $R_1 = \min$ ).

### **3. Зміст звіту**

- 3.1. Назва роботи.
- 3.2. Мета роботи.
- 3.3. Короткі теоретичні відомості.
- 3.4. Схеми рис. 1.2 та рис. 1.3.
- 3.5. Розрахунок реального диференційного кола за п. 2.2.
- 3.6. Осцилограми вихідної напруги  $U_{\text{вих}}$  за п. 2.4.
- 3.7. Висновки.

### **4. Контрольні запитання**

1. Яке призначення диференційного кола?
2. Яке призначення інтегруючого кола?
3. Яка умова має виконуватися для диференційного кола?
4. Яка умова має виконуватися для інтегруючого кола?
5. Який принцип дії диференційного кола?
6. Який принцип дії інтегруючого кола?
7. За яким законом змінюється напруга на конденсаторі в RC колах?

## **Лабораторна робота № 2**

### **КОНДЕНСАТОРНІ ЕЛЕМЕНТИ ЧАСУ НА НАПІВПРОВІДНИКАХ**

**Мета роботи.** Дослідження реле часу та транзисторно-ємнісної лінії затримки.

### **1. Короткі теоретичні відомості**

#### **1.1. Призначення реле часу.**

Реле часу призначено для створення необхідної затримки при передачі впливу між частинами приладів автоматики. В реле можна виділити три характерні частини:

- сприймаючу, куди надходить вхідний сигнал;
- сповільнювану, яка здійснює задану витримку часу;
- виконавчу, яка формує вихідний сигнал.

#### **1.2. Блок напівпровідникового реле часу.**

В різних електронних пристроях автоматики, телемеханіки та релейного захисту для утворення часових інтервалів широке застосування знаходять схеми, в яких використовують перехідний процес заряду, розряду або перезаряду конденсаторів в аперіодичному колі.

Такі схеми автономні, готові до дії в будь-який момент часу, характеризуються високими показниками точності та надійності. Для реалізації цих схем необхідна мала кількість елементів. Можливий часовий інтервал роботи їх досить широкий: від мікросекунд до декількох десятків секунд.

Утворення часового інтервалу при розряді конденсатора можна розглянути на принципі дії блоку напівпровідникового реле часу, схема якого показана на

рис. 2.1.

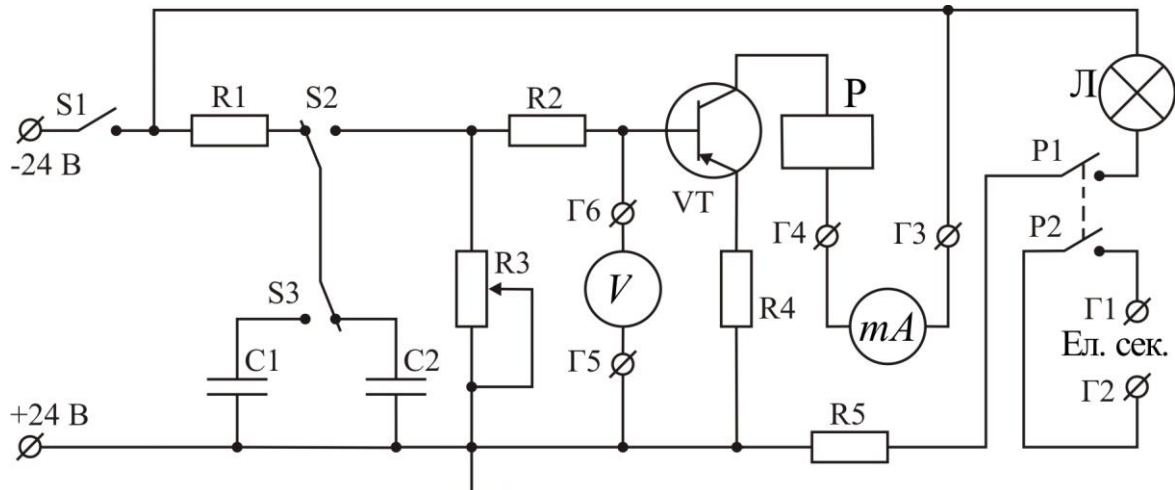


Рисунок 2.1. Схема напівпровідникового реле часу

Коли перемикач  $S_2$  знаходиться у лівому положенні та увімкнений перемикач живлення  $S_1$ , то один з конденсаторів  $C_1$  або  $C_2$  (в залежності від положення перемикача  $S_3$ ) заряджається до напруги живлення через резистор  $R_1$ . Транзистор  $VT$  знаходиться в закритому положенні, через реле  $P$  колекторний струм транзистора не протікає, тому реле має відпущений якір та його вихідні контакти  $P_1$  та  $P_2$  розімкнені. Сигнальна лампочка  $L$  не горить. Перемкнувши  $S_2$  в праве положення, від'ємна напруга конденсатора відкриває транзистор та починається розряд конденсатора через потенціометр  $R_3$  та ланцюг  $R_2$  – відкритий транзистор  $VT$  –  $R_4$ . При цьому колекторний струм транзистора різко зростає та досягає струму спрацювання електромагнітного реле  $P$ . Останнє притягує свій якір, замикає вихідні контакти  $P_1$  та  $P_2$ , лампочка  $L$  загоряється. Реле буде утримувати свої контакти, створюючи витримку часу.

По мірі розряду конденсатору зменшується від'ємний потенціал на базі транзистора  $VT$  та він закривається. Колекторний струм транзистора зменшується до струму відпускання реле  $P$ , таким чином, реле відпустить свій якір і розімкне вихідні контакти, після чого лампочка погасне.

Отже, витримка часу залежить від ємності конденсатора та величини опорів.

### 1.3. Транзисторна-ємнісна лінія затримки.

Досить часто в пристроях телемеханіки потрібно формувати затриманий прямоугольний імпульс заданої тривалості, зсунений на визначений час відносно початку керуючого імпульсу. Принцип формування такої затримки прямоугольного імпульсу можна вияснити, розглянувши схему транзисторно-ємнісної лінії затримки (рис. 2.2) та діаграму роботи даної схеми (рис. 2.3).

В початковому стані транзистори  $VT_1$  –  $VT_n$  відкриті та насищені, так як негативний потенціал від  $-E_k$  надходить через резистор  $R_6$  на їх бази. На вході лінії надходить нуль (позитивна напруга величиною приблизно 0,5 В). Діод зв'язку  $VD_3$  при цьому відкритий та потенціал його катоду приблизно рівний

нулю, хоча й трішки від'ємний. Струм від джерела сигналу протікає по ланцюгу: діод  $VD_3$  – резистор  $R_1$  – ( $-E_k$ ). Між катодом діода  $VD_3$  і базою транзистора  $VT$  включені компенсаційні діоди  $VD_{k1}$  та  $VD_{k2}$ . Струм зміщення від  $+E_{zm}$ , протікаючи через діоди  $VD_{k1}$  та  $VD_{k2}$ , створює на них пряме падіння напруги, по абсолютній величині більше потенціалу катода діода  $VD_3$ . В результаті потенціал бази транзистора вище нуля, тому транзистор  $VT$  в початковому стані закритий.

Оскільки транзистор  $VT$  закритий, то потенціал лівої обкладинки конденсатора  $C_1$  приблизно рівний величині  $-E_k$ , а потенціал правої дорівнюватиме нулю, потенціалу корпусу (падіння напруги на діоді  $VD_1$  близьке до нуля). Отже, конденсатор  $C_1$  заряджений приблизно до величини  $-E_k$ . Всі інші конденсатори лінії затримки  $C_2$  –  $C_n$  розряджені, потенціали їх правих і лівих обкладинок однакові (потенціал лівих обкладинок конденсаторів рівний нулю, так як падіння напруги на переходах «емітер-колектор» відкритих транзисторів  $VT_1$  –  $VT_n$  близьке до нуля).

Якщо на вход схеми подати негативний потенціал, діод  $VD_3$  при цьому закривається, потенціал бази транзистора  $VT$  стає негативним і транзистор відкривається. Як тільки транзистор  $VT$  відкриється, напруга на його колекторі стане близькою до нуля й конденсатор  $C_1$  почне розряджатися через діод  $VD_2$  – резистор  $R_6$ . При розряді конденсатора  $C_1$  транзистор  $VT_1$  закривається, потенціал його колектору стає негативним. З цього моменту буде заряджатися конденсатор  $C_2$  по ланцюгу:  $-E_k - R_k - C_2 - VD_1$ . Заряд ємності  $C_2$  відбудеться швидше ніж розряд конденсатора  $C_1$ , оскільки постійна часу заряду  $\tau_3$  ( $\tau_3 = R_k C_2$ ) значно менша постійної часу розряду  $\tau_p$  ( $\tau_p = R_6 C_1$ ).

Після закінчення розряду конденсатора  $C_1$  транзистор  $VT_1$  знову відкривається, і починається розряд ємності  $C_2$ . Транзистор  $VT_2$  при цьому закривається та починається заряд ємності  $C_3$ . Таким чином, процес буде здигатися від першого каскаду затримки до другого, від другого до третього і т. д., поки на виході лінії затримки не з'явиться позитивний імпульс. Диференційна схема, підключена до виходу, передає позитивний диференційний імпульс на навантаження.

Час затримки каскаду в такій схемі не може бути більше тривалості керуючого входного імпульсу:

$$t_{\text{стn}} \leq t_{\text{кеп}} \quad (2.1)$$

Якщо виконується умова (2.1) та  $C_1 = C_2 = \dots = C_n = C$  і  $R_{61} = R_{62} = \dots = R_{6n} = R_6$ , то час затримки  $n$ -го каскаду може бути приблизно розрахований, як:

$$t_{\text{стn}} \approx 0,7R_6C. \quad (2.2)$$

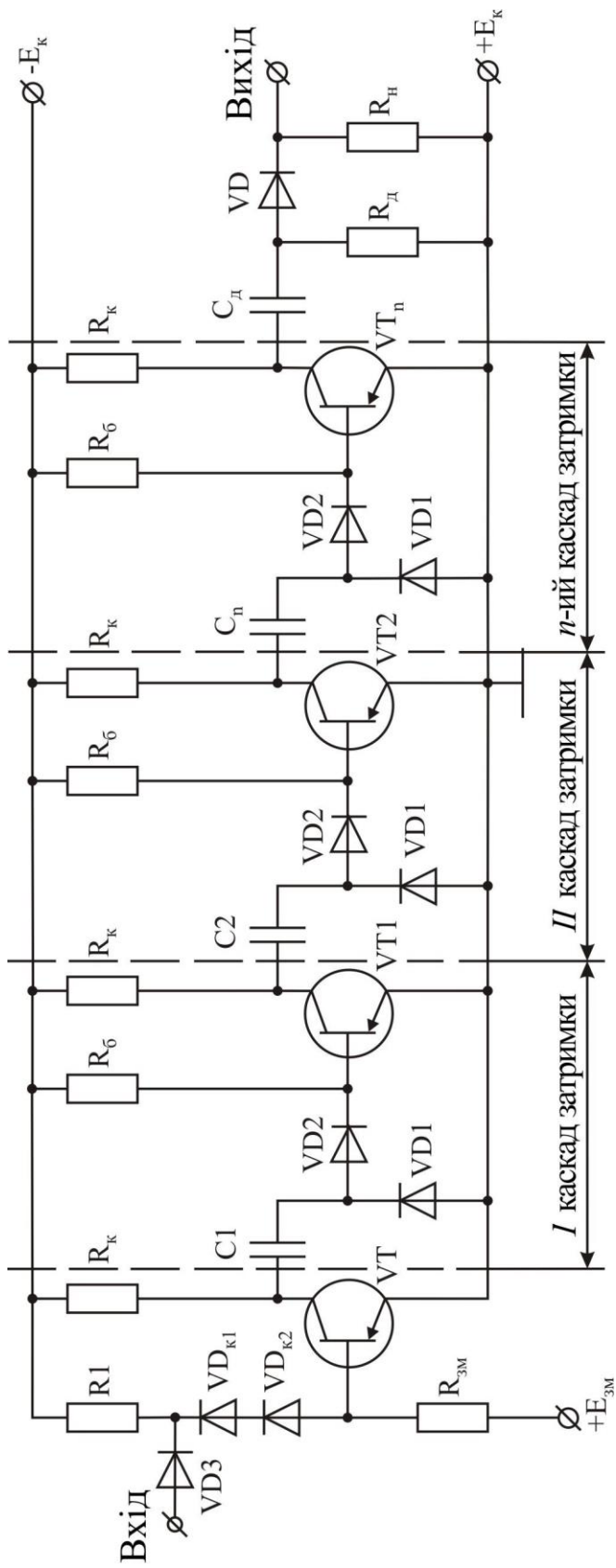


Рисунок 2.2. Схема транзисторно-емнісної ліній затримки

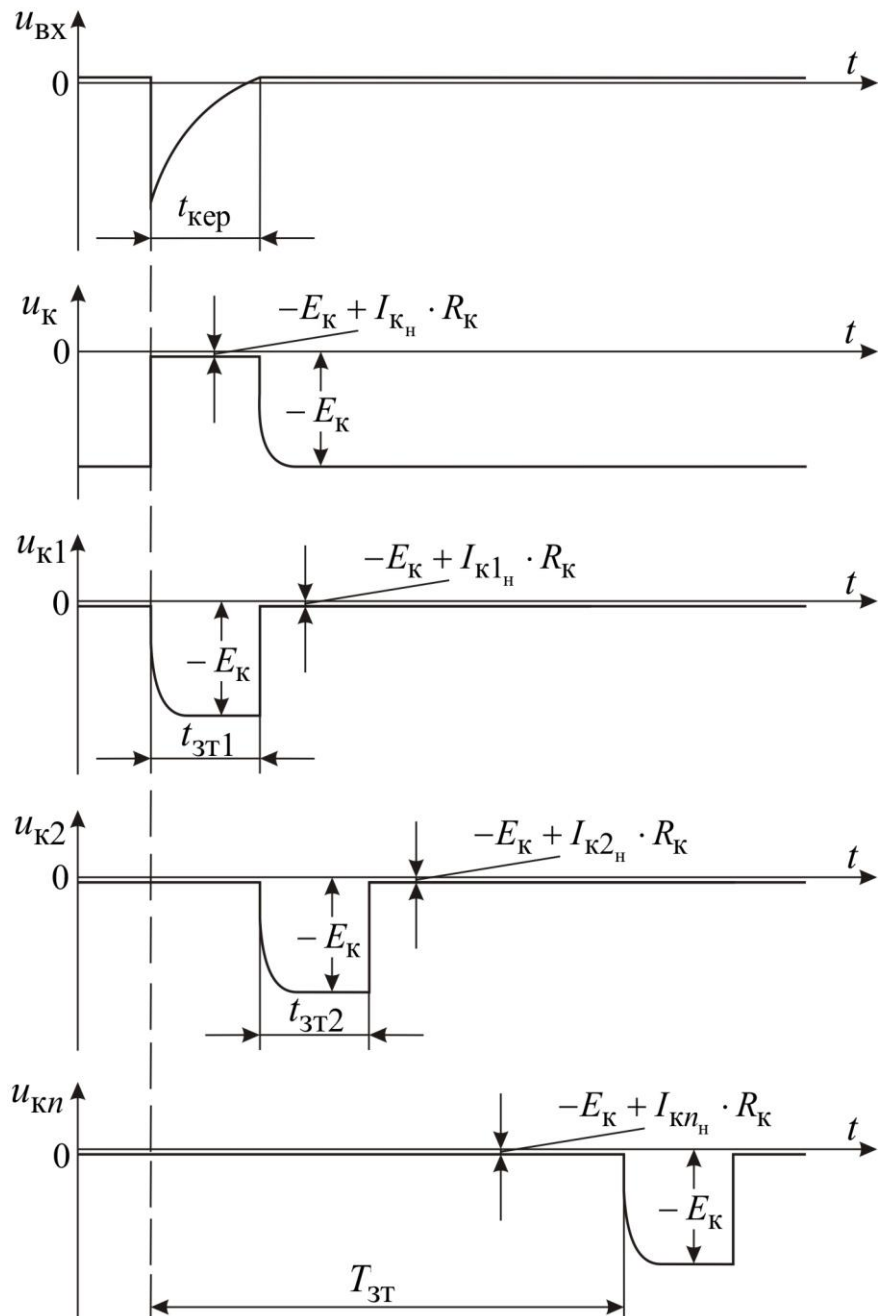


Рисунок 2.3. Діаграма роботи транзисторно-ємнісної лінії затримки

Так як останній транзистор не створює затримки, а тільки фіксує час закінчення роботи попереднього каскаду, то повний час затримки лінії  $T_{\text{зт}}$  приблизно дорівнюватиме:

$$T_{\text{зт}} \approx 0,7(n-1)R_{\delta}C, \quad (2.3)$$

де  $n$  – число каскадів затримки.

Перевагами даної транзисторно-ємнісної лінії затримки є: відсутність затухання імпульсів (в кожному каскаді затримки відбувається повне відновлення амплітуди сигналу), можливість забезпечення тривалих витримок часу при великій завадостійкості. Недоліком являється залежність

часу затримки каскаду від тривалості керуючого імпульсу.

## 2. Порядок виконання роботи

2.1. Ознайомитися з короткими теоретичними відомостями.

2.2. Дослідити ступінчасте регулювання витримки часу схеми блоку напівпровідникового реле часу (рис. 2.1) шляхом перемикання ємностей  $C_1$  і  $C_2$  перемикачем  $S_3$  та регулюючи значення потенціометра  $R_3$ . Отримані дані секундоміра часу замкнутого стану контактів реле  $P$  занести до табл. 2.1.

2.3. Виміряти струм спрацювання  $I_{\text{спр}}$  та відпускання  $I_{\text{відп}}$  реле  $P$  схеми блока напівпровідникового реле часу (рис. 2.1).

Для цього необхідно до гнізд  $\Gamma_3$  і  $\Gamma_4$  підключити ланцюг з послідовним з'єднанням міліамперметру та потенціометра  $R_6$  (рис. 2.4). Перемикачем  $S_3$  ввести в роботу конденсатор, при якому час замкнутого стану контактів реле максимальний та встановити значення потенціометра  $R_3$  на максимум. Регулюючи значення потенціометра  $R_6$ , виконати вимірювання струму тричі.

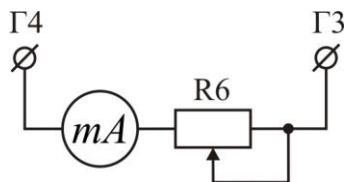


Рисунок 2.4. Ланцюг для вимірювання струму спрацювання та відпускання реле  $P$

За середнім значенням струму спрацювання  $I_{\text{спр}}$  та струму відпускання  $I_{\text{відп}}$  реле визначити коефіцієнт повернення за формулою

$$k_{\text{пов}} = \frac{I_{\text{відп}}}{I_{\text{спр}}} \quad (2.4)$$

Таблиця 2.1

### Результати дослідження ступінчастого регулювання часу схеми блоку напівпровідникового реле часу

Конденсатор, який знаходиться в роботі	Положення потенціометра $R_3$	Час замкнутого стану контактів реле $t$ , с
$C_1$	$R_3 = \text{max}$	
	$R_3 = \text{min}$	
$C_2$	$R_3 = \text{max}$	
	$R_3 = \text{min}$	

2.4. Розрахувати час затримки  $n$ -го каскаду  $t_{\text{зтн}}$  та повний час затримки  $T_{\text{зт}}$  транзисторно-ємнісної лінії затримки (рис. 2.2) для чотирьох каскадів за формулами (2.2) і (2.3) відповідно. Значення опору  $R_6$  та ємності  $C$  для розрахунку задаються керівником лабораторних робіт. Результати розрахунку занести до табл. 2.2.

Таблиця 2.2

**Результати дослідження транзисторно-ємнісної лінії затримки**

Час затримки каскадів $t_{\text{ст}}$ , с			Повний час затримки лінії $T_{\text{ст}}$ , с	
Вимірюваний		Розрахунковий	Вимірюваний	Розрахунковий
Першого	Другого		Третього	

2.5. Виконати моделювання схеми транзисторно-ємнісної лінії затримки (рис. 2.2), яка складається із чотирьох каскадів. Параметри схеми встановити відповідно до розрахункових одержаних у п. 2.4.

2.5.1. Виміряти час затримки кожного каскаду та повний час затримки схеми. Результати дослідження занести до табл. 2.2.

2.5.2. Зняти діаграму роботи схеми відповідно до рис. 2.3.

**3. Зміст звіту**

- 3.1. Назва роботи.
- 3.2. Мета роботи.
- 3.4. Схеми рис. 2.1 та рис 2.2.
- 3.5. Таблиці результатів дослідження 2.1 та 2.2.
- 3.6. Діаграма роботи схеми транзисторно-ємнісної лінії затримки за п. 2.5.2.
- 3.7. Висновки.

**4. Контрольні запитання**

1. Яке призначення реле часу?
2. Який принцип дії блоку напівпровідникового реле часу?
3. Як впливає на роботу блоку напівпровідникового реле часу зміна значення потенціометра  $R_3$ ?
4. Який принцип дії транзисторно-ємнісної лінії затримки?
5. Яку умову необхідно виконати для правильної роботи транзисторно-ємнісної лінії затримки?
6. Чому заряд конденсатора в каскаді транзисторно-ємнісної лінії затримки відбувається швидше, а ніж розряд?
7. Як впливає на час затримки каскаду транзисторно-ємнісної лінії затримки збільшення або зменшення значення ємності конденсатора в каскаді?
8. Як впливає на час затримки каскаду транзисторно-ємнісної лінії затримки збільшення або зменшення значення опору у ланцюгу бази транзистора в каскаді?
9. Які переваги та недоліки використання транзисторної-лінії затримки?

## Лабораторна робота № 3

### ТРИГЕРИ НА ТРАНЗИСТОРАХ

**Мета роботи.** Дослідження схеми тригера із автоматичним зміщенням та його розрахунку.

#### 1. Короткі теоретичні відомості

##### 1.1. Призначення тригерів.

Тригери – основні перемикаючі елементи в електронних пристроях автоматики та телемеханіки. Вони здатні необмежено довго зберігати будь-який із станів стійкої рівноваги і майже миттєво під дією керуючого імпульсу переходити в інший стійкий стан. Існують наступні схеми тригерів: без зміщення, із незалежним зміщенням, із автоматичним зміщенням.

Тригери без зміщення не знайшли практичного застосування. Найбільш широко в пристроях автоматики та телемеханіки використовують тригери із незалежним і автоматичним зміщенням.

##### 1.2. Тригер із автоматичним зміщенням.

Схема тригера з автоматичним зміщенням представлена на рис. 3.1. Тригер складається із двох підсилювально-інверторних каскадів, з'єднаних між собою за допомогою двох резисторних колекторно-базових зв'язків та представляє собою схему, в якій відсутнє додаткове джерело напруги зміщення. В даній схемі напруга зміщення утворюється у вигляді падіння напруги на резисторі  $R_7$ , який ввімкнений у загальний ланцюг емітерів обох транзисторів. Так як один із транзисторів обов'язково відкритий, то струм через резистор  $R_7$  завжди протікає, таким чином, відбувається зниження потенціалу емітера. В малому інтервалі часу, коли відбувається перемикання тригера, напруга зміщення забезпечується за рахунок енергії конденсатора  $C_2$ . Тригер може володіти двома станами рівноваги, які умовно позначаються «стан нуля» та «стан одиниці». Прийнято вважати «стан нуля» таким, коли лівий транзистор закритий, а правий відкритий. Для зміни стану тригера необхідно за допомогою перемикача  $\Pi_1$  подати позитивний імпульс на базу транзистора  $VT_2$  (верхнє положення перемикача).

Коли відсутній імпульс запуску, обидва діода  $VD_1$  та  $VD_2$  закриті. Однак напруга закриття на діоді  $VD_1$  буде невеликою, майже рівною напрузі на колекторному опорі закритого транзистора  $VT_1$ . Діод  $VD_2$  закритий напругою, близькою до  $E_K$ , так як потенціал його катоду, рівний потенціалу колектора відкритого транзистора  $VT_2$ , близького до нуля.

Якщо на вход схеми подати позитивний імпульс, амплітуда якого більша, ніж напруга на колекторному опорі  $VT_1$ , то відкриється діод  $VD_1$ . Імпульс запуску позитивної полярності надходить тільки на колектор закритого транзистора  $VT_1$ , а через ланцюг зв'язку – на базу відкритого транзистора  $VT_2$ , який при цьому закривається, викликаючи перекидання тригера. При

відкритті транзистора  $VT_1$  та збільшення потенціалу його колектора, закривається діод  $VD_1$ . Це приводить до того, що генератор імпульсів запуску відключається та не впливає на роботу тригера.

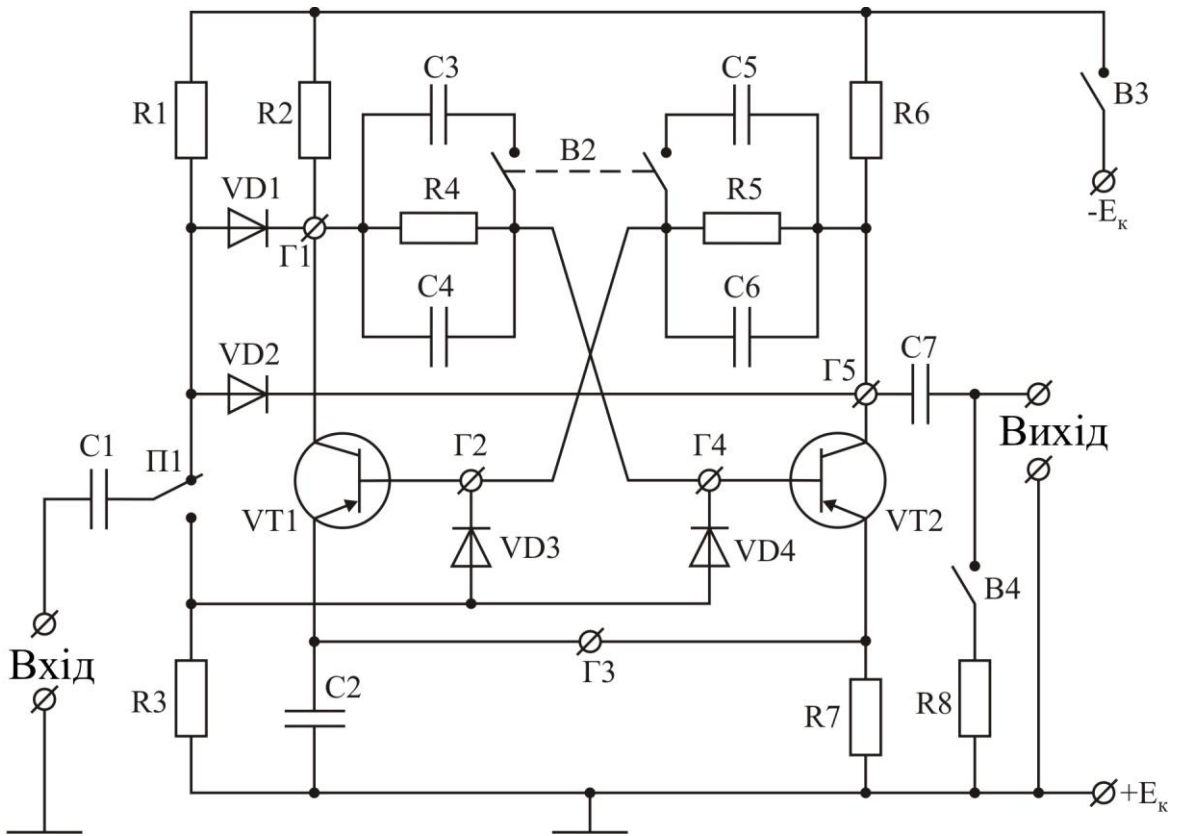


Рисунок 3.1. Схема тригера з автоматичним зміщенням

Коли необхідно виключити надходження імпульсів запуску безпосередньо на вхід наступного каскаду, зв'язаного з колектором одного із транзисторів тригера (у блоці з  $VT_2$ ), то застосовують базову схему запуску тригера (перемикач  $\Pi_1$  знаходиться в нижньому положенні).

Недоліком пропонованої схеми запуску по ланцюгу бази являється те, що імпульси позитивної полярності діють не тільки на базу відкритого транзистора, але й на базу закритого, що заважає перекиданню тригера. Краще перекидання тригера можливо, якщо на базу закритого транзистора подати негативний потенціал.

Конденсатори  $C_3$  і  $C_4$ ,  $C_5$  і  $C_6$  являються прискорювальними. Вони сприяють прискоренню лавиноподібному процесу перекидання тригера. За звичай ці ємності не повинні бути менше 200 пФ.

## 2. Порядок виконання роботи

2.1. Ознайомитися з короткими теоретичними відомостями.

2.2. Виконати розрахунок тригера з незалежним зміщенням (рис. 3.2), зібраного на транзисторах типу КТ203Б. Вихідні дані для розрахунку задаються керівником лабораторних робіт за табл. 3.1.

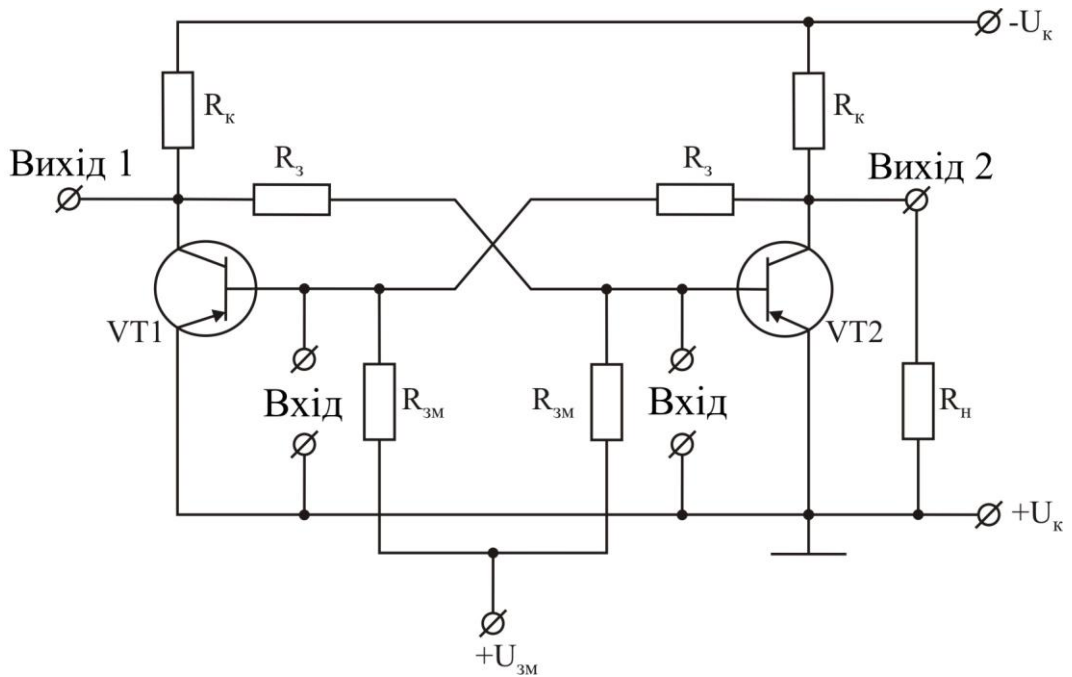


Рисунок 3.2. Схема тригера з незалежним зміщенням

2.2.1. Визначити відношення опору зворотного зв'язку до опору колектору:

$$k = \frac{R_3}{R_k} \leq \beta \frac{U_{min}}{U_{\kappa min}}, \quad (3.1)$$

де  $\beta_{min}$  – мінімальний коефіцієнт підсилення транзистора;

$U_{min}$  – мінімальна напруга на навантаженні, В;

$U_{\kappa}$  – колекторна напруга, В;

2.2.2. Розрахувати значення опору в ланцюгу колектора транзистора:

$$R_k = R_h \left( \frac{U_{\kappa}}{U_{min} \frac{k+1}{k}} \right), \quad (3.2)$$

де  $R_h$  – опір зовнішнього навантаження, Ом;

2.2.3. Визначити дійсний струм навантаження транзистора:

$$I_{k_h} = \frac{U_{\kappa}}{R_k} < I_{kmax}; \quad (3.3)$$

2.2.4. Розрахувати опір зворотного зв'язку:

$$R_3 = kR_k; \quad (3.4)$$

2.2.5. Визначити розрахунковий нульовий струм колекторного переходу закритого транзистора для заданої температури:

$$I_{k_{0pos}} = I_{k_0} 2^{\frac{t_{pos}-20}{10}} \cdot \frac{U_{\kappa}}{U_{k6max}}, \quad (3.5)$$

де  $I_{k_0}$  – нульовий струм колекторного переходу закритого транзистора при температурі 20 °C, А;

$t_{\text{поз}}$  – розрахункова температура, °C;

$U_{\text{кб},\max}$  – максимально допустима напруга колектор-база, В;

Таблиця 3.1

**Вихідні дані для розрахунку тригера з незалежним зміщенням**

Параметри	Номер варіанту															
	1	2	3	4	5	6	7	8	9	10						
Колекторна напруга $U_K$ , В	26	30	22	28	20	26	24	22	28	20						
Мінімальний коефіцієнт підсилення транзистора $\beta_{\min}$	30	40	50	60	15	55	25	20	35	45						
Опір зовнішнього навантаження $R_H$ , кОм	2,4	3,6	4,5	2,5	2,0	5,0	3,7	4,0	3,0	4,0						
Мінімальна напруга на навантаженні $U_{\text{min}}$ , В	24	25	20	24	18	24	20	25	22	18						
Розрахункова температура $t_{\text{поз}}$ , °C	+35				+45											
Напруга зміщення $U_{\text{zm}}$ , В	6				4											
Максимально допустима напруга колектор-база $U_{\text{кб},\max}$ , В	30															
Максимально допустимий імпульсний струм колектору $I_{K,\max}$ , мА	50															
Нульовий струм колекторного переходу закритого транзистора при 20 °C $I_{K_0}$ , мкА	15															

2.2.6. Визначити опір зміщення тригера:

$$R_{\text{zm}} \leq \frac{U_{\text{zm}}}{I_{K_0 \text{pos}}}, \quad (3.6)$$

де  $U_{\text{zm}}$  – напруга зміщення, В;

2.2.7. Розрахувати дійсну напругу на навантаженому виході тригера:

$$U_{\text{вих.2}} = \frac{U_K}{1 + \frac{R_K}{R_3} + \frac{R_K}{R_H}} \geq U_{\text{min}}; \quad (3.7)$$

2.2.8. Розрахувати дійсну напругу на ненавантаженому виході тригера:

$$U_{\text{вих.1}} = U_K \frac{R_3}{R_K + R_3}. \quad (3.8)$$

2.3. Дослідити схему тригера з автоматичним зміщенням (рис. 3.1).

2.3.1. Замкнути перемикач  $B_3$ , перемикач  $B_4$  розімкнути. Виміряти рівень напруги на гніздах  $\Gamma_1$ ,  $\Gamma_2$ ,  $\Gamma_4$ ,  $\Gamma_5$ .

2.3.2. Замкнути перемикач  $B_4$ , виміряти рівень напруги на гніздах  $\Gamma_1$ ,  $\Gamma_2$ ,  $\Gamma_4$ ,  $\Gamma_5$ .

2.3.3. Перемикачем  $P_1$  перемкнути тригер по колекторно-базовим та базовим зв'язкам.

### 3. Зміст звіту

- 3.1. Назва роботи.
- 3.2. Мета роботи.
- 3.3. Короткі теоретичні відомості.
- 3.4. Схеми рис. 3.1 та рис. 3.2.
- 3.5. Розрахунок тригера за п. 2.2.
- 3.6. Значення напруги в гніздах  $\Gamma_1$ ,  $\Gamma_2$ ,  $\Gamma_4$ ,  $\Gamma_5$  при замкнутому та розімкнутому перемикачі  $B_4$ .
- 3.7. Висновки.

### 4. Контрольні запитання

1. Яке призначення тригерів?
2. Які існують різновидності тригерів?
3. Який принцип дії тригера з автоматичним зміщенням?
4. Як впливає на роботу тригера підключення конденсаторів  $C_5$  і  $C_6$  перемикачем  $B_2$ ?
5. Яка зазвичай величина прискорювальних конденсаторів тригера з автоматичним зміщенням?

## Лабораторна робота № 4

### МУЛЬТИВІБРАТОР НА НАПІВПРОВІДНИКОВИХ ТРАНЗИСТОРАХ

**Мета роботи.** Дослідження роботи схеми мультивібратора з від'ємними базами та виконання його розрахунку.

#### 1. Короткі теоретичні відомості

##### 1.1. Призначення мультивібратора.

У пристроях телемеханіки широке застосування знаходять генератори, форма вихідної напругу яких різко відрізняється від синусоїdalnoї. Коливання такої форми носить назву релаксаційних коливань та бувають прямоутними, пилкоподібними, пилкоподібно-імпульсними і так далі.

Генератори релаксаційних коливань використовують в якості запускаючих та перемикаючих елементів, для ділення частоти, розвертки електронного променя в осцилографах і так далі.

Одним із видів релаксаційних генераторів являється мультивібратор, який виробляє електричні коливання, близькі по формі до прямокутних. Такі коливання мають широкий спектр частот. Цим визначається назва мультивібратор, що означає генератор великої кількості коливань.

### 1.2. Мультивібратор на транзисторах з від'ємними базами.

Мультивібратор на транзисторах, схема якого показана на рис. 4.1 складається із двох підсилювально-інверторних каскадів, кожний з яких має транзистор (відповідно  $VT_1$  і  $VT_2$ ), опір у ланцюгу бази ( $R_2$  і  $R_4$ ;  $R_3$  і  $R_5$ ) та опір у ланцюгу колектору ( $R_1$  і  $R_6$ ). Колектор транзистора  $VT_1$  з'єднаний з базою транзистора  $VT_2$  конденсатором  $C_2$  (або  $C_1$  та  $C_2$  при замкнутому перемикачі  $B_1$ ), а колектор транзистора  $VT_2$  – з базою транзистора  $VT_1$  конденсатором  $C_4$  (або  $C_3$  та  $C_4$  при замкнутому перемикачі  $B_2$ ). Таким чином, мультивібратор має ємнісні колекторно-базові зв'язки.

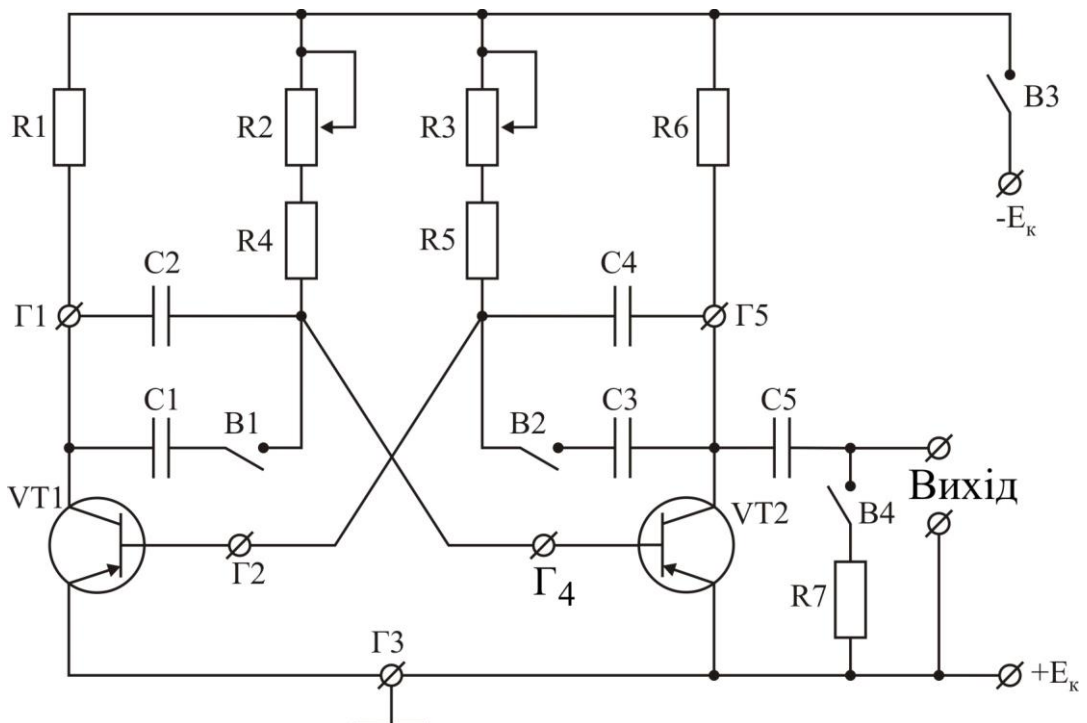


Рисунок 4.1. Схема мультивібратора на транзисторах з від'ємними базами

Мультивібратор має два режими роботи – режим розкачування та режим основної роботи. Режим розкачування характеризує роботу мультивібратора від моменту подання напруги на схему до сталого генерування імпульсів (режим основної роботи).

При поданні напруги перемикачем  $B_3$  обидва транзистора починають відкриватися, так як на їх бази подана негативна напруга від джерела живлення через базові опори. Крім цього, негативна напруга подається на бази транзисторів через колекторні опори і закорочені в перший момент подання напруги ємності (згідно до закону комутації).

Кожний транзистор, відкриваючись, намагається закрити протилежний, подаючи через ємності позитивні напруги на бази. Із-за технологічного

розкиду параметрів елементів схеми один із транзисторів буде відкриватися швидше, отже, і його закриваючий вплив на протилежний транзистор буде більший. У кінцевому результаті це приведе до того, що один із транзисторів відкриється повністю, а інший закріється. На цьому закінчується режим розкачування.

Припустимо, що в результаті режиму розкачування транзистор  $VT_1$  опинився відкритий, а транзистор  $VT_2$  – закритим. У цей час відбувається заряд конденсатора  $C_4$  (перемикачі  $B_1$  та  $B_2$  розімкнені) по ланцюгу:  $(+E_k)$  – корпус – перехід «емітер-база» відкритого транзистора  $(VT_1 - C_4 - R_6 - (-E_k))$ . Закритий стан транзистора  $VT_1$  підтримується за рахунок розряду ємності  $C_2$  по ланцюгу:  $C_2 - R_4 - R_2 - (-E_k) - (+E_k)$  – корпус – перехід «емітер-колектор» відкритого транзистора  $VT_1 - C_2$ . Струм розряду створює на опорах  $R_2$  і  $R_4$  позитивне падіння напруги по відношенні до бази транзистора  $VT_2$ .

Після закінчення розряду конденсатора  $C_2$ , транзистор  $VT_2$  відкривається, так як до його бази буде прикладена негативна напруга. З цього моменту почне розряджатися ємність  $C_4$  по ланцюгу:  $C_4 - R_5 - R_3 - (-E_k) - (+E_k)$  – корпус – перехід «емітер-колектор» відкритого транзистора  $VT_2 - C_4$ . Струм розряду створює на опорах  $R_3$  і  $R_5$  позитивне падіння напруги по відношенні до бази транзистора  $VT_1$  та він закривається. При цьому буде заряджатися ємність  $C_2$  по ланцюгу:  $(+E_k)$  – корпус – перехід «емітер-база» відкритого транзистора  $VT_2 - C_2 - R_1 - (-E_k)$ . Потім процеси повторюються.

## 2. Порядок виконання роботи

2.1. Ознайомитися з короткими теоретичними відомостями.

2.2. Виконати розрахунок мультивібратора з від’ємними базами (рис. 4.1), зібраного на транзисторах типу КТ203Б. Вихідні дані для розрахунку задаються керівником лабораторних робіт за табл. 4.1.

2.2.1. Визначити величину опору у ланцюгах колекторів транзисторів:

$$R_k \geq \frac{E_k}{I_{k_{pos}}}, \quad (4.1)$$

де  $E_k$  – напруга джерела живлення, В;

$I_{k_{pos}}$  – розрахунковий струм навантаження транзисторів, А;

2.2.2. Знайти величину опору у ланцюгах баз транзисторів:

$$R_b \leq \beta \kappa_{min}, \quad (4.2)$$

де  $\beta_{min}$  – мінімальний коефіцієнт підсилення транзисторів за струмом;

2.2.3. Розрахувати необхідну величину ємностей колекторно-базових зв’язків:

$$C = \frac{1}{1.4 R_b f_{pos}}, \quad (4.3)$$

де  $f_{\text{поз}}$  – розрахункова частота генеруючих імпульсів, Гц.

Таблиця 4.1

**Вихідні дані для розрахунку мультивібратора з від'ємними базами**

Параметри	Номер варіанту									
	1	2	3	4	5	6	7	8	9	10
Розрахункова частота генеруючих імпульсів $f_{\text{поз}}$ , Гц	35	55	45	40	60	50	45	30	55	35
Мінімальний коефіцієнт підсилення транзисторів за струмом $\beta_{\min}$	30	35	20	25	15	35	30	25	20	15
Напруга джерела живлення $E_k$ , В	18						24			
Розрахунковий струм навантаження транзисторів $I_{k_{\text{поз}}}$ , мА	35						25			

2.3. Дослідити схему мультивібратора з від'ємними базами (рис. 4.1).

2.3.1. Зняти осцилограми напруги в гніздах  $\Gamma_1, \Gamma_2, \Gamma_4, \Gamma_5$  при розімкнутому перемикачі  $B_4$ :

- перемикачі  $B_1$  і  $B_2$  розімкнені,  $R_2 = \max$ ,  $R_3 = \max$ ;
- перемикачі  $B_1$  і  $B_2$  розімкнені,  $R_2 = \min$ ,  $R_3 = \min$ ;
- перемикачі  $B_1$  і  $B_2$  замкнені,  $R_2 = \max$ ,  $R_3 = \max$ ;
- перемикачі  $B_1$  і  $B_2$  замкнені,  $R_2 = \min$ ,  $R_3 = \min$ .

2.3.2. Зняти осцилограми напруги в гніздах  $\Gamma_1, \Gamma_2, \Gamma_4, \Gamma_5$  при замкнутому перемикачі  $B_4$ :

- перемикачі  $B_1$  і  $B_2$  розімкнені,  $R_2 = \max$ ,  $R_3 = \max$ ;
- перемикачі  $B_1$  і  $B_2$  розімкнені,  $R_2 = \min$ ,  $R_3 = \min$ ;
- перемикачі  $B_1$  і  $B_2$  замкнені,  $R_2 = \max$ ,  $R_3 = \max$ ;
- перемикачі  $B_1$  і  $B_2$  замкнені,  $R_2 = \min$ ,  $R_3 = \min$ .

### 3. Зміст звіту

- 3.1. Назва роботи.
- 3.2. Мета роботи.
- 3.3. Короткі теоретичні відомості.
- 3.4. Схеми рис. 4.1.
- 3.5. Розрахунок мультивібратора за п. 2.2.
- 3.6. Осцилограми напруги за п. 2.3.
- 3.7. Висновки.

## 4. Контрольні запитання

1. Яке призначення мультивібратора?
2. Який принцип дії мультивібратора на транзисторах з від'ємними базами?
3. Як впливає на роботу мультивібратора збільшення або зменшення ємності в колекторно-базових зв'язках транзисторів?
4. Як впливає на роботу мультивібратора збільшення або зменшення значення потенціометрів  $R_2$  і  $R_3$  у ланцюгу баз транзисторів?
5. Як впливає на роботу мультивібратора підключення навантаження?
6. У чому полягає розрахунок мультивібратора?

### Лабораторна робота № 5

## ОДНОВІБРАТОР НА ТРАНЗИСТОРАХ

**Мета роботи.** Дослідження режиму роботи одновібратора на транзисторах та виконання його розрахунку.

### 1. Короткі теоретичні відомості

#### 1.1. Призначення одновібратора.

Одновібратором називається однотактний генератор, який збуджується короткими імпульсами, що подаються на вхід та призначений для отримання імпульсів заданої тривалості.

#### 1.2. Одновібратор на транзисторах.

Розглянемо роботу схеми одновібратора на транзисторах, яка зображена на рис. 5.1.

При поданні напруги перемикачем  $B_3$  транзистор  $VT_2$  відкривається, а транзистор  $VT_1$  закривається. В такому стані одновібратор знаходитьться тривалий час, впродовж якого заряджається конденсатор  $C_3$  (або  $C_3$  та  $C_2$  при замкнутому перемикачі  $B_1$ ). Закритий стан транзистора  $VT_1$  підтримується напругою зміщення  $+E_{zm}$ . Одновібратор переводиться в тривалий стійкий стан за допомогою імпульсу, який надходить на вхід схеми. Перемикач  $P_1$  може знаходитися у верхньому або нижньому положенні. Якщо перемикач  $P_1$  знаходить у верхньому положенні то позитивний імпульс із входу через діод  $VD_1$  надходить на конденсатор  $C_3$ . Останній починає розряджатися через резистор  $R_4$  та потенціометр  $R_3$ , створюючи позитивне падіння напруги по відношенні до бази транзистора  $VT_2$ . При цьому транзистор  $VT_2$  закривається, на його колекторі з'являється високий негативний потенціал, який через резистор  $R_5$  надходить на базу транзистора  $VT_1$ . Останній відкриється та буде відкритий впродовж часу розряду конденсатора  $C_3$ , після чого одновібратор повернеться в початковий стан.

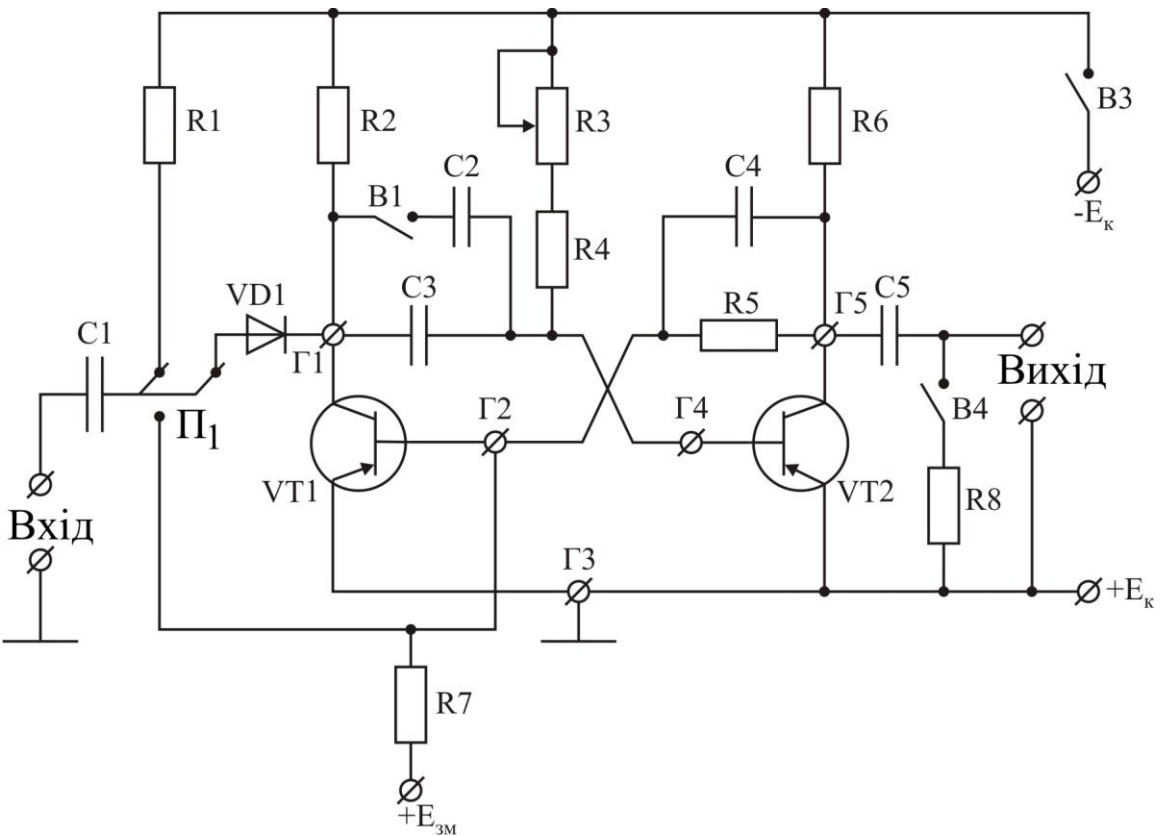


Рисунок 5.1. Схема одновібратора на транзисторах

Якщо перемикач  $\Pi_1$  знаходиться у нижньому положенні, то в цьому випадку імпульс запуску повинен бути негативної полярності. При цьому негативний імпульс надходить на базу транзистора  $VT_1$ , останній відкривається. Конденсатор  $C_3$  починає розряджатися через резистор  $R_4$  та потенціометр  $R_3$ , транзистор  $VT_2$  закривається. Після закінчення розряду конденсатора  $C_3$  одновібратор повертається в початковий стан.

## **2. Порядок виконання роботи**

- 2.1. Ознайомитися з короткими теоретичними відомостями.
  - 2.2. Виконати розрахунок одновібратора (рис. 5.1), зібраного на транзисторах типу КТ203Б. Вихідні дані для розрахунку задаються керівником лабораторних робіт за табл. 5.1.
    - 2.2.1. Визначити величину опору у ланцюгах колекторів транзисторів:

$y = \frac{E}{T}$

$$R_k \geq \frac{1}{l_{k_{\text{pos}}}}, \quad (5.1)$$

де  $E_k$  — напруга джерела живлення, В;

$I_{K_{\text{поз}}}$  – розрахунковий струм навантаження транзисторів, А;

2.2.2. Знайти величину опору у ланцюгах баз транзисторів:

$$R_\delta = R_3 + R_4 \leq \beta \kappa_{min}, \quad (5.2)$$

де  $\beta_{min}$  – мінімальний коефіцієнт підсилення транзисторів за струмом;

2.2.3. Розрахувати величину ємності у колекторно-базовому зв'язку транзисторів  $VT_1$  та  $VT_2$  за розрахунковим часом імпульсу (тривалість вихідного імпульсу, гніздо  $\Gamma_1$ ):

$$C = \frac{t_{i_{\text{pos}}}}{0,7R_5}, \quad (5.3)$$

де  $t_{i_{\text{pos}}}$  – розрахунковий час імпульсу, с;

2.2.4. Знайти час вихідного імпульсу на виході (гніздо  $\Gamma_5$ ):

$$t_{i_{\text{вих}}} = 0,7R_6C + 5R_kC. \quad (5.4)$$

Таблиця 5.1

### Вихідні дані для розрахунку одновібратора на транзисторах

Параметри	Номер варіанту									
	1	2	3	4	5	6	7	8	9	10
Мінімальний коефіцієнт підсилення транзисторів за струмом $\beta_{min}$	25	20	40	30	15	45	35	30	25	20
Розрахунковий час імпульсу $t_{i_{\text{pos}}}$ , мс	2,0	1,4	1,8	0,7	0,9	1,2	1,0	1,6	0,8	0,6
Напруга джерела живлення $E_k$ , В	24					18				
Розрахунковий струм навантаження транзисторів $I_{k_{\text{pos}}}$ , мА	25					35				

2.3. Дослідити схему одновібратора на транзисторах (рис. 5.1).

2.3.1. Зняти осцилограмми напруги в гніздах  $\Gamma_1$ ,  $\Gamma_2$ ,  $\Gamma_4$ ,  $\Gamma_5$  при розімкнутому перемикачі  $B_4$ :

- перемикач  $B_1$  розімкнений,  $R_3 = max$ ;
- перемикач  $B_1$  розімкнений,  $R_3 = min$ ;
- перемикач  $B_1$  замкнений,  $R_3 = max$ ;
- перемикач  $B_1$  замкнений,  $R_3 = min$ ;

2.3.2. Зняти осцилограмми напруги в гніздах  $\Gamma_1$ ,  $\Gamma_2$ ,  $\Gamma_4$ ,  $\Gamma_5$  при замкнутому перемикачі  $B_4$ :

- перемикач  $B_1$  розімкнений,  $R_3 = max$ ;
- перемикач  $B_1$  розімкнений,  $R_3 = min$ ;
- перемикач  $B_1$  замкнений,  $R_3 = max$ ;
- перемикач  $B_1$  замкнений,  $R_3 = min$ ;

### **3. Зміст звіту**

- 3.1. Назва роботи.
- 3.2. Мета роботи.
- 3.3. Короткі теоретичні відомості.
- 3.4. Схеми рис. 5.1.
- 3.5. Розрахунок одновібратора за п. 2.2.
- 3.6. Осцилограми напруги за п. 2.3.
- 3.7. Висновки.

### **4. Контрольні запитання**

1. Яке призначення одновібратора?
2. Який принцип дії одновібратора на транзисторах?
3. Як впливає на роботу одновібратора збільшення або зменшення ємності в колекторно-базовому зв'язку транзисторів  $VT_1$  і  $VT_2$ ?
4. Як впливає на роботу мультивібратора збільшення або зменшення значення потенціометрів  $R_3$  у ланцюгу бази транзистора  $VT_2$ ?
5. Як впливає на роботу одновібратора підключення навантаження?
6. У чому полягає розрахунок одновібратора?

## **Лабораторна робота № 6**

### **БЛОКІНГ-ГЕНЕРАТОР**

**Мета роботи.** Дослідження режиму роботи блокінг-генератора та виконання його розрахунку.

### **1. Короткі теоретичні відомості**

#### **1.1. Призначення блокінг-генератора.**

Блокінг-генератор (БГ) – однокаскадний трансформаторно-транзисторний підсилювач, замкнений за допомогою трансформатора у кільцеву схему з сильним позитивним зворотнім зв'язком. Блокінг-генератори використовують в імпульсній та цифровій техніці в якості порівняно потужних генераторів імпульсів, близьких за формою до прямокутних. БГ можуть бути використані в якості основного елементу перетворювача низької постійної напруги в більш високу. За допомогою БГ можливо отримати короткочасні прямокутні імпульси великої скважності (відношення інтервалу між імпульсами до тривалості самого імпульсу) в порівнянні з мультивібраторами та одновібраторами.

#### **1.2. БГ з колекторно-базовим зв'язком на транзисторі з загальним емітером.**

Розглянемо принцип дії БГ за рис. 6.1, на якому показана його схема з колекторно-базовим зв'язком на транзисторі  $VT_1$  з загальним емітером. Позитивний зворотній зв'язок між колектором і базою транзистора  $VT_1$

здійснюється за допомогою обмоток трансформатору  $T_{p1}$ . Такий БГ працює в режимі автоколивань.

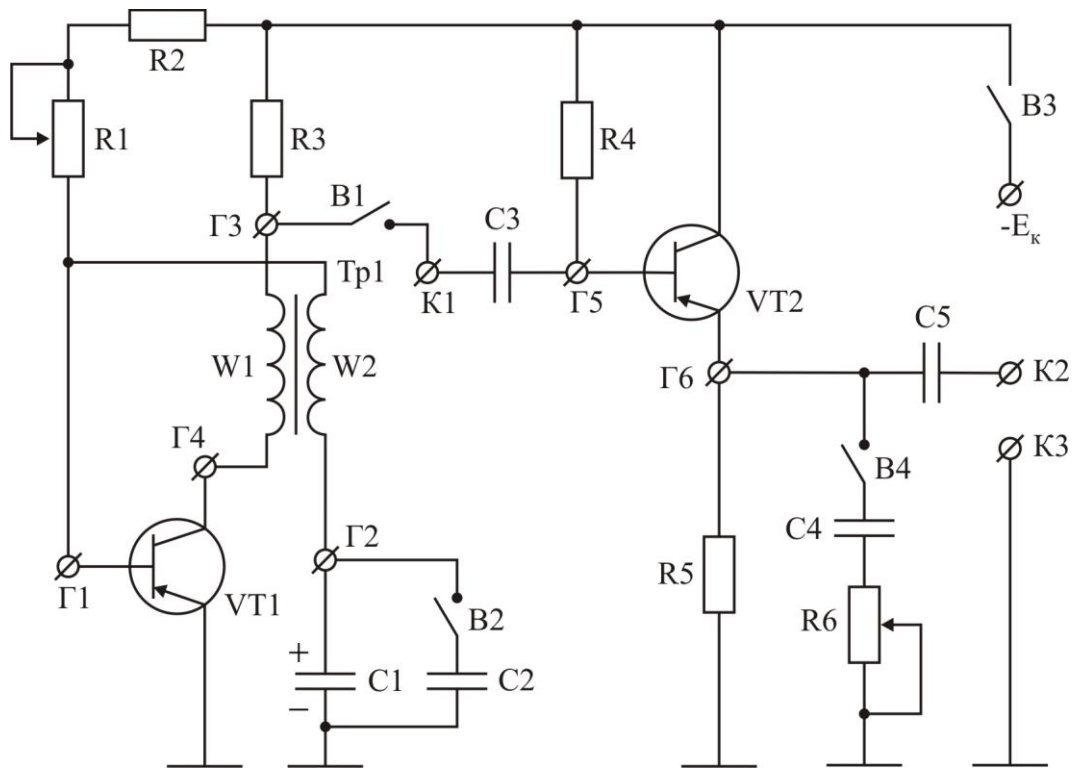


Рисунок 6.1. Схема блокінг-генератора з колекторно-базовим зв'язком на транзисторі з загальним емітером

Нехай спочатку на конденсаторі  $C_1$  напруга (при розімкнутому перемикачі  $B_2$ ) має полярність, вказану на рис. 6.1. Тоді транзистор  $VT_1$  знаходиться в закритому стані та конденсатор  $C_1$  розряджається через обмотку  $W_2$  імпульсного трансформатора  $T_{p1}$ , потенціометр  $R_1$ , резистор  $R_2$  і джерело живлення. Індуктивністю обмотки  $W_2$  можливо знехтувати, так як швидкість зміни струму на цьому етапі невелика.

Коли напруга на конденсаторі, прямує до негативного рівня  $-E_b$ , спадає до нуля, транзистор  $VT_1$  відкривається та починається другий етап переходного процесу. На цьому етапі зростаючий колекторний струм наводить у вторинній обмотці  $W_2$  трансформатора ЕРС негативної полярності, яка сприяє відкриванню транзистора  $VT_1$ . Колекторна напруга впродовж другого етапу падає від величини  $-E_k$  практично до нуля (рис. 6.2).

На третьому етапі відбувається розсмоктування накопичених у базі транзистора носіїв. При цьому колекторна напруга  $U_k$  остається близькою до нуля, тобто формується вершина імпульсу (див. рис. 6.2). Через деякий час заряд неосновних носіїв у базі зменшується до такої величини, при якій транзистор  $VT_1$  виходить із насиження. Після цього настає етап закривання, впродовж якого колекторний струм лавиноподібно спадає до нуля, а колекторна напруга знову досягає величини  $-E_k$ . Потім відбувається викид

напруги, обумовлений розсіянням енергії, накопиченої в осерді трансформатора. По закінченню викиду напруги схема повертається в початковий стан і розглянутий раніше цикл повторюється.

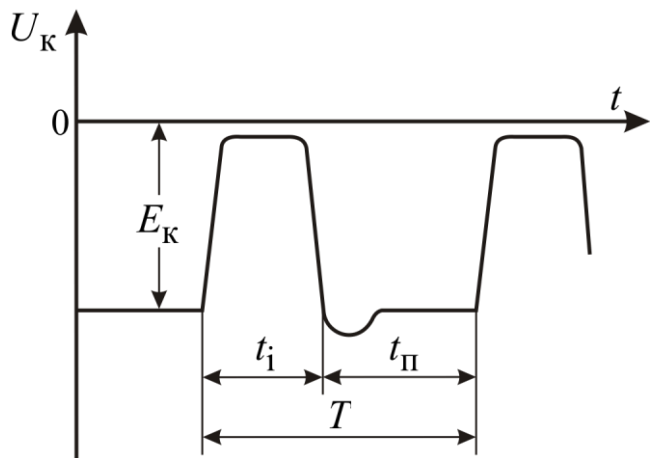


Рисунок 6.2. Залежність колекторної напруги транзистора  $VT_1$  від часу

Позитивна напруга на конденсаторі  $C_1$ , яку ми запропонували на початку циклу, утворюється в процесі формування вершини імпульсу, коли через конденсатор великий базовий струм. Так як на кінці обмотки  $W_2$  зі сторони бази транзистора  $VT_1$  негативний потенціал, а на другому її кінці – позитивний і величиною більший за  $+E_K$ , то на другій обкладинці конденсатора  $C_1$  вказаний негативний потенціал. Фронти імпульсу зазвичай короткі за часом, а напруга на конденсаторі  $C_1$  за цей час майже не змінюється.

Резистор  $R_3$  ввімкнений для обмеження максимального струму колектора транзистора  $VT_1$  при генерації імпульсів малої скважності, зменшення залежності часових параметрів транзистора і, отже, після імпульсного викиду, напруги на базі і колекторі транзистора.

Із резистора  $R_3$  знімається прямоугольний імпульс дещо спотвореної форми, яка в подальшому може бути виправлена формувальним ланцюгом  $R_6$  і  $C_4$  на виході емітерного повторювача.

## 2. Порядок виконання роботи

2.1. Ознайомитися з короткими теоретичними відомостями.

2.2. Виконати розрахунок блокінг-генератора, схема якого зображена на рис. 6.3. Вихідні дані для розрахунку задаються керівником лабораторних робіт за табл. 6.1. Необхідні параметри транзисторів для розрахунку приведені в табл. 6.2.

2.2.1. Визначити величину напруги джерела живлення:

$$E_K = (0,5 \dots 0,7) U_{ke_{max}}, \quad (6.1)$$

де  $U_{ke_{max}}$  – максимальна допустима напруга колектор-емітер, В (табл. 6.2);

2.2.2. Розрахувати коефіцієнт трансформації для обмотки навантаження:

$$n_h = \frac{E_k}{U_{\text{вих}}}, \quad (6.2)$$

де  $U_{\text{вих}}$  – амплітуда напруги вихідного імпульсу, В (табл. 6.1);

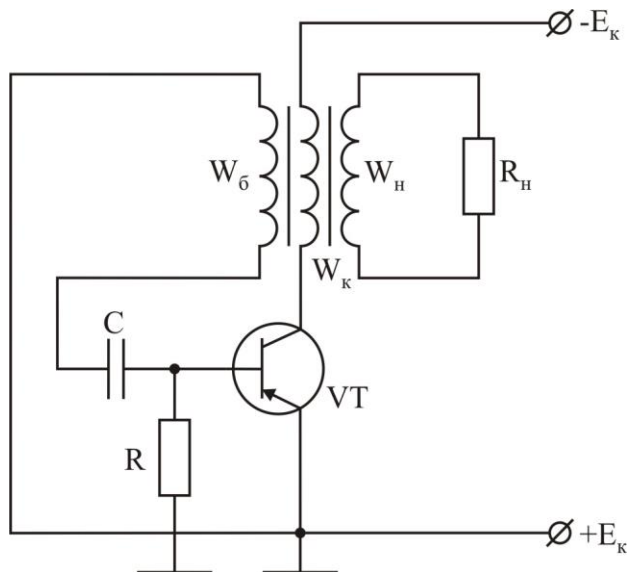


Рисунок 6.3. Схема блокінг-генератора з трансформаторним способом підключення навантаження

2.2.3. Знайти приведений опір навантаження:

$$R'_h = R_h n_h^2, \quad (6.3)$$

де  $R_h$  – опір навантаження, Ом (табл. 6.1);

2.2.4. Визначити приведену ємність навантаження:

$$C'_h = \frac{C_h}{n_h^2}, \quad (6.4)$$

де  $C_h$  – ємність навантаження, Ф (табл. 6.1);

2.2.5. Розрахувати оптимальне значення коефіцієнта трансформації ланцюгу зворотного зв'язку:

$$n_{\text{опт}} = \sqrt{\frac{R'_h \tau_{TN}}{r_\delta [\tau_{TN} + R'_h (C_h + \frac{C'_h}{\beta_{\min}})]}}, \quad (6.5)$$

де  $\tau_{TN}$  – середній час прольоту носіїв через область бази, с (табл. 6.2);

$r_\delta$  – об'ємний опір бази, Ом (табл. 6.2);

$C_h$  – диференційна ємність колекторного переходу, Ф (табл. 6.2);

$\beta_{\min}$  – мінімальний коефіцієнт передачі струму бази (табл. 6.2);

2.2.6. Визначити тривалість фронту:

$$t_{\Phi p} = \frac{2,2}{n_{\text{опт}}} \left[ \tau_{TN} + \sqrt{\tau_{TN}^2 + \tau_{TN} r_\delta (C_h + C'_h)} \right]; \quad (6.6)$$

Таблиця 6.1

**Вихідні дані для розрахунку блокінг-генератора з трансформаторним способом підключення навантаження**

Параметри	Номер варіанту									
	1	2	3	4	5	6	7	8	9	10
Амплітуда напруги вихідного імпульсу $U_{\text{вих}}$ , В	10	20	30	50	60	80	70	90	100	120
Тривалість вихідного імпульсу $t_i$ , мкс	150	120	100	90	80	70	60	50	20	10
Опір навантаження $R_h$ , кОм	100	90	80	70	60	50	40	30	20	10
Ємність навантаження $C_h$ , пФ	15	20	25	30	25	15	30	20	25	30
Період коливання вихідної напруги $T$ , мкс	50	70	90	120	150	180	300	600	800	900
Допустима зміна коливання вихідної напруги із зміною температури $\frac{\Delta T}{T}$	0,1	0,2	0,3	0,2	0,4	0,1	0,3	0,2	0,4	0,1
Тривалість фронту $t_{\text{фр}}$ , мкс	4,5	3,0	3,5	2,5	2,0	1,5	2,5	3,0	4,0	1,5
Тип транзистора	КТ209Г	КТ209Б	КТ209Г	КТ209Б	КТ209Г					

Таблиця 6.2

**Параметри транзисторів для розрахунку**

Параметри	Тип транзистора	
	КТ209Б	КТ209Г
Максимально допустима напруга колектор-емітер $U_{\text{ке},\max}$ , В	15	20
Мінімальний коефіцієнт передачі струму бази $\beta_{\min}$	50	50
Диференційна ємність колекторного переходу $C_k$ , пФ	90	80
Середній час прольоту носіїв через область бази $t_{TN}$ , мкс	0,1	0,1
Об'ємний опір бази $r_b$ , Ом	300	200
Максимальний нульовий струм колектора при закритому стані транзистора $I_{\text{к},\max}$ , мкА	75	25

2.2.7. Розрахувати необхідну постійну часу RC-кола:

$$\tau_{RC} = \frac{T}{\ln\left(1 + \frac{1}{n_{opt}}\right)}, \quad (6.7)$$

де  $T$  – період коливання вихідної напруги, с (табл. 6.1);

2.2.8. Визначити найбільше значення опору RC-кола, враховуючи допустиму зміну періоду коливання вихідної напруги із зміною температури:

$$R \leq \frac{E_{zm}}{I_{k_{max}} \frac{\Delta T}{T}}, \quad (6.8)$$

де  $E_{zm}$  – напруга зміщення, В ( $E_{zm} = E_6 = E_K$ );

$I_{k_{max}}$  – максимальний нульовий струм колектора при закритому стані транзистора, А (табл. 6.2);

$\frac{\Delta T}{T}$  – допустима зміна коливання вихідної напруги із зміною температури (табл. 6.1);

2.2.9. Розрахувати ємність хронувального конденсатора RC-кола:

$$C = \frac{1}{R \cdot \ln\left(1 + \frac{1}{n_{opt}}\right)}. \quad (6.9)$$

2.3. Дослідити схему блокінг-генератора з колекторно-базовим зв'язком на транзисторі з загальним емітером (рис. 6.1).

2.3.1. Зняти осцилограмами напруги в гніздах  $\Gamma_1, \Gamma_2, \Gamma_3, \Gamma_4$  при розімкнутому перемикачі  $B_1$ :

- перемикач  $B_2$  розімкнений,  $R_1 = max$ ;
- перемикач  $B_2$  розімкнений,  $R_1 = min$ ;
- перемикач  $B_2$  замкнений,  $R_1 = max$ ;
- перемикач  $B_2$  замкнений,  $R_1 = min$ ;

2.3.2. Зняти осцилограмами напруги в гніздах  $\Gamma_5, \Gamma_6$  при замкнутому перемикачі  $B_1$ :

- перемикач  $B_4$  розімкнений,  $R_6 = max$ ;
- перемикач  $B_4$  розімкнений,  $R_6 = min$ ;
- перемикач  $B_4$  замкнений,  $R_6 = max$ ;
- перемикач  $B_4$  замкнений,  $R_6 = min$ ;

### 3. Зміст звіту

- 3.1. Назва роботи.
- 3.2. Мета роботи.
- 3.3. Короткі теоретичні відомості.
- 3.4. Схеми рис. 6.1, рис. 6.2 і рис. 6.3.
- 3.5. Розрахунок блокінг-генератора за п. 2.2.
- 3.6. Осцилограмами напруги за п. 2.3.
- 3.7. Висновки.

## 4. Контрольні запитання

1. Яке призначення блокінг-генератора?
2. Яка відмінність блокінг-генератора від мультивібратора та одновібратора?
3. Який принцип дії блокінг-генератора з колекторно-базовим зв'язком на транзисторі з загальним емітером?
4. Як впливає на роботу схеми блокінг-генератора (рис. 6.1) намагнічування осердя трансформатора?
5. Яку функцію виконує резистор  $R_3$  в схемі блокінг-генератора (рис. 6.1)?
6. Яке призначення диференційного ланцюга (при замкнутому перемикачі  $B_4$ ) блокінг-генератора (рис. 6.1)?
7. У чому полягає розрахунок блокінг-генератора?

## Лабораторна робота № 7

### ФАНТАСТРОННІ ГЕНЕРАТОРИ ІМПУЛЬСІВ

**Мета роботи.** Дослідження режиму роботи фантастрону.

#### 1. Короткі теоретичні відомості

##### 1.1. Призначення фантастрону.

Фантастронними генераторами імпульсів (фантастронами) називаються релаксаційні генератори з лінійно-змінною напругою, яка формується компенсаційним методом з використанням напруги в колі негативного зворотного зв'язку.

Фантастрони використовують для розвертки електронного променя в електронно-промінних трубках з електростатичним відхиленням (наприклад, в осцилографах), в пристроях затримки імпульсів на калібраний час, в перетворювачах аналог-код і т. д.

##### 1.2. Принцип дії фантастрону.

Запуск схеми фантастрону (рис. 7.1) виконується позитивними імпульсами, які подаються на вхід схеми. Фантастрон має чотири стани - сталий (чекання), запуску, робочий та відновлення.

В початковому сталому стані транзистор  $VT_1$  відкритий, так як негативний потенціал від  $-E_k$  приходить на його базу через опір  $R_2$ . При цьому транзистор  $VT_3$  також відкритий, а транзистор  $VT_2$  закритий. Конденсатор  $C_3$  заряджений по ланцюгу:  $+E_k$  – корпус – переход «емітер-база» відкритого транзистора  $VT_3$  –  $(+C_3)$  –  $(-C_3)$  –  $R_9$  –  $(-E_k)$ . Полярність обкладинок вказана на рис. 7.1.

При надходженні позитивного імпульсу на вхід схеми почне розряджатися ємність  $C_1$  через діод  $VD_1$  і опір  $R_2$ , транзистор  $VT_1$  при цьому

закривається. Потенціал його колектора стає негативним та надходить на базу транзистора  $VT_2$ , в результаті чого останній відкривається. В наслідок цього ємність  $C_3$  почне розряджатися по ланцюгу:  $+C_3 - R_8 - R_7 - (-E_k) - (+E_k)$  – перехід «емітер-колектор» транзистора  $VT_3$  – перехід «емітер-колектор» транзистора  $VT_2$  –  $(-C_3)$ . Транзистор  $VT_3$  виходить із стану насищення. Напруга між базою та емітером транзистора  $VT_1$  стає позитивною, що буде підтримувати  $VT_1$  у закритому стані й після закінчення позитивного вхідного імпульсу (підбирається величина ємності  $C_1$ ).

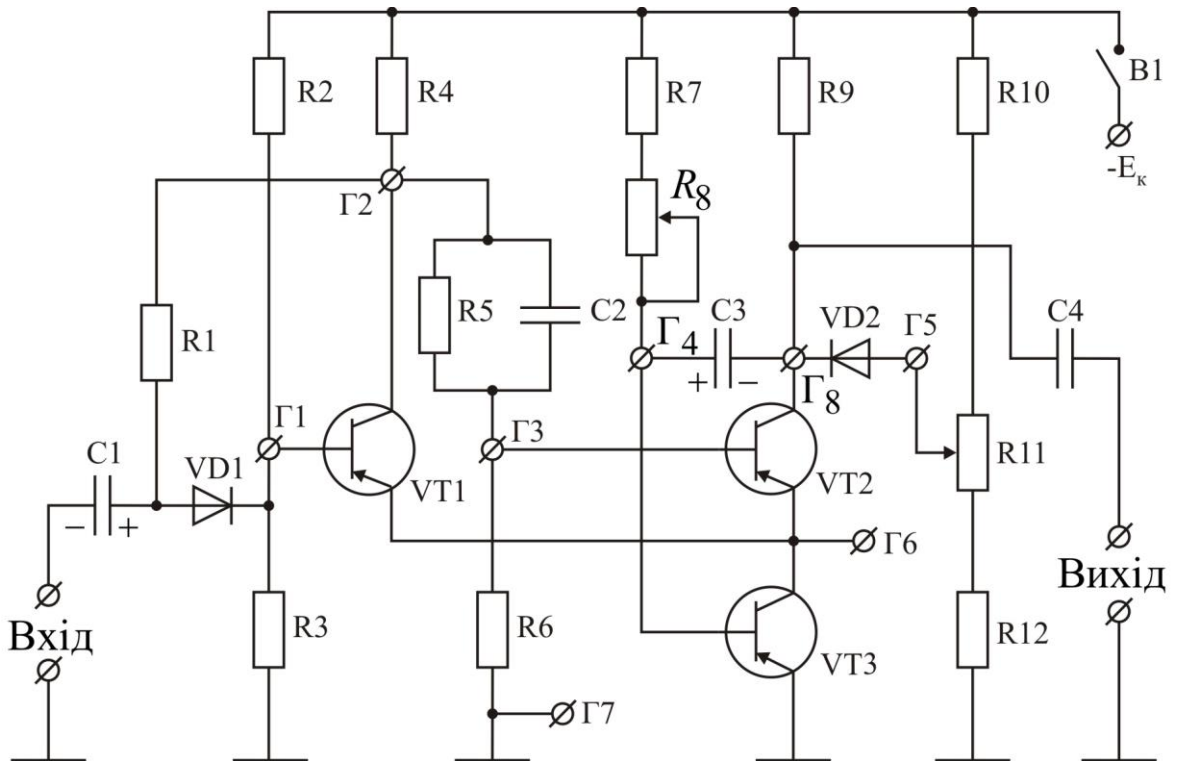


Рисунок 7.1. Схема фантастрону

Через конденсатор  $C_3$  здійснюється негативний обернений зв'язок між колектором транзистора  $VT_2$  та базою  $VT_3$ . Внаслідок цього з плином часу потенціал бази транзистора  $VT_3$  майже не змінюється, а потенціал колектора  $VT_2$  – «слідкує» за зміною напруги на конденсаторі  $C_3$ . По цій причині подібний обернений зв'язок іноді називають підсилювально-слідкувальним оберненим зв'язком (рис. 7.2).

Заключний етап робочої стадії відбувається наступним чином. Після закінчення розряду ємності  $C_3$  транзистор  $VT_3$  відкривається й напруга «база-емітер» транзистора  $VT_1$  стає негативною. Транзистор  $VT_1$  відкривається, закриваючи транзистор  $VT_2$ , після чого настає стадія відновлення, протягом якої конденсатор  $C_3$  заряджається.

Рівень напруги, до якого відбувається заряд конденсатора  $C_3$ , визначається дільником напруги  $R_{10} - R_{11} - R_{12}$  та може регулюватися за допомогою потенціометра  $R_{11}$ .

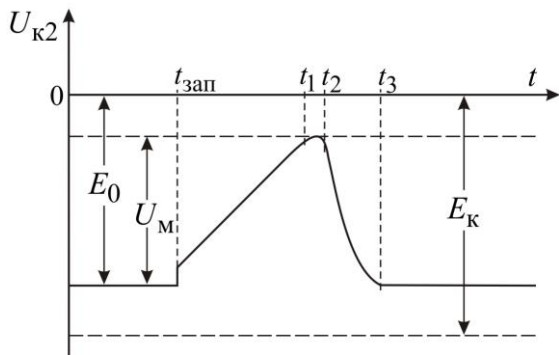


Рисунок 7.2. Залежність зміни напруги на колекторі транзистора  $VT_2$  від часу

## 2. Порядок виконання роботи

- 2.1. Ознайомитися з короткими теоретичними відомостями.
- 2.2. Зняти осцилограмами напруги в гніздах  $\Gamma_1, \Gamma_2, \Gamma_3, \Gamma_4, \Gamma_5, \Gamma_6, \Gamma_8$  при запуску фантастрону від генератора прямокутних імпульсів:

- при  $R_8 = \max, R_{11} = \max;$
- при  $R_8 = \min, R_{11} = \max;$
- при  $R_8 = \max, R_{11} = \min;$
- при  $R_8 = \min, R_{11} = \min.$

## 3. Зміст звіту

- 3.1. Назва роботи.
- 3.2. Мета роботи.
- 3.3. Короткі теоретичні відомості.
- 3.4. Схеми рис. 7.1 і рис. 7.2.
- 3.5. Осцилограми напруги за п. 2.2.
- 3.7. Висновки.

## 4. Контрольні питання

1. Яке призначення фантастрону?
2. Який принцип дії фантастрону?
3. Як впливає на роботу схеми фантастрону зміна значення потенціометра  $R_8$ ?
4. Як впливає на роботу схеми фантастрону зміна значення потенціометра  $R_{11}$ ?
5. Яку функцію виконує конденсатор  $C_1$  в схемі фантастрону?
6. Чим визначається рівень напруги, до якого відбувається заряд конденсатора  $C_3$ ?

## Лабораторна робота № 8

### АМПЛІТУДНІ ДІОДНІ ОБМЕЖУВАЧІ

**Мета роботи.** Дослідження режиму роботи амплітудних діодних обмежувачів.

#### 1. Короткі теоретичні відомості

1.1. Призначення та застосування амплітудних діодних обмежувачів.

Обмежувачі амплітуди на напівпровідникових діодах застосовують для формування імпульсів, селекції сигналів за амплітудою та полярністю, фіксування рівня та відновлення постійної складової сигналів.

Обмежувачами амплітуди називаються пристрой, напруга на виході яких пропорційна вхідній напруті до тих пір, поки остання не досягає деякого рівня, який отримав назву поріг обмежування.

Щоб зберегти пропорційність між вихідною та вхідною напругою, характеристика має бути нелінійною. Тому необхідною деталлю в обмежувачі – нелінійним елементом – зазвичай являються напівпровідникові діоди.

1.2. Класифікація амплітудних діодних обмежувачів.

Розрізняють послідовні та паралельні обмежувачі, які можуть бути з обмеженням на нульовому рівні і ненульовому рівні, з обмеженням зверху і знизу, з одним порогом обмеження та двома (двосторонні обмежувачі).

Найпростішою схемою послідовного діодного обмежувача є обмежувач на нульовому рівні (рис. 8.1, а).

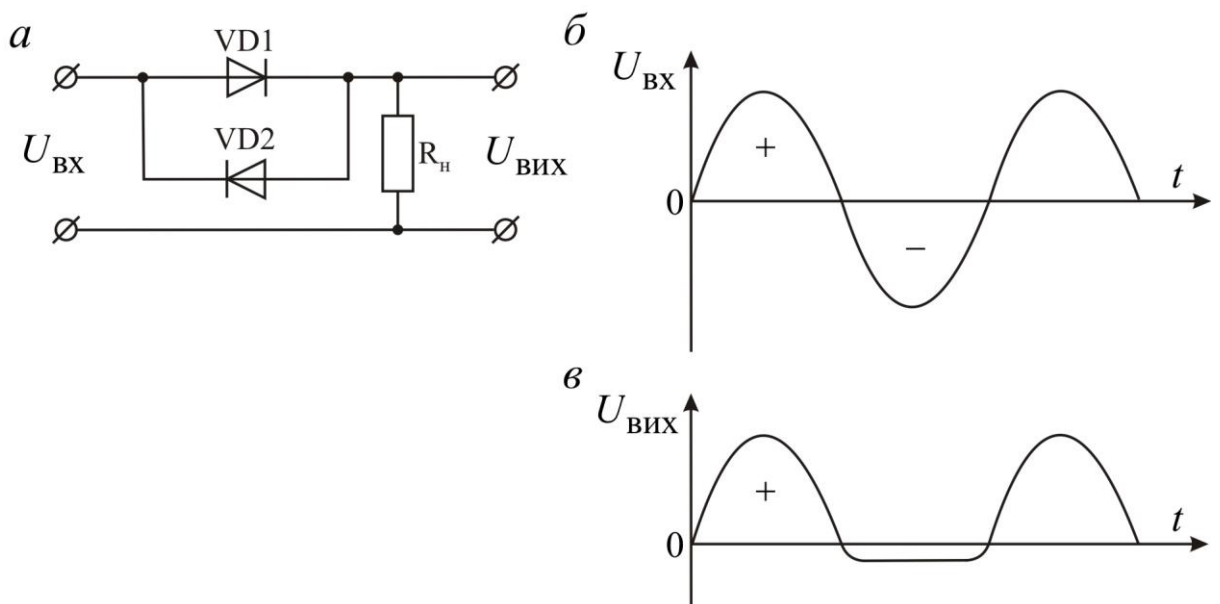


Рисунок 8.1. Дія синусоїdalnoї напруги на схему послідовного діодного обмежувача на нульовому рівні: а – схема послідовного діодного обмежувача на нульовому рівні; б – вхідна напруга схеми; в – вихідна напруга схеми

Для нормальної роботи даної схеми необхідно виконати наступне співвідношення параметрів:

$$R_{\text{зв}} \gg R_h \gg R_{\text{пр}}, \quad (8.1)$$

де  $R_{\text{зв}}$  – зворотній опір діоду, Ом;

$R_h$  – опір навантаження, Ом;

$R_{\text{пр}}$  – прямий опір діода, Ом.

При подачі на вход схеми позитивної півхвилі синусоїдальної напруги з амплітудою  $U_m$  (рис. 8.1, б), діод відкривається і практично вся входна напруга  $U_{\text{вх}}$  виділяється на навантаженні  $R_h$  (рис. 8.1, в) і вихідна напруга  $U_{\text{вих}}$  дорівнює:

$$U_{\text{вих+}} = U_m \frac{R_h}{R_h + R_{\text{пр}}} \approx U_m. \quad (8.2)$$

Якщо на вход діє негативна півхвиля, до діод закритий і вихідна напруга дорівнює:

$$U_{\text{вих-}} = U_m \frac{R_h}{R_h + R_{\text{зв}}} \approx U_m \frac{R_h}{R_{\text{зв}}}. \quad (8.3)$$

Слід відмітити, що якість обмежувача суттєво залежить від коефіцієнта випрямлення діоду:

$$k_\sigma = \frac{R_{\text{зв}}}{R_{\text{пр}}}. \quad (8.4)$$

Для отримання схеми діодного обмежувача на ненульовому рівні необхідне додаткове включення джерела постійної напруги (рис. 8.2, а).

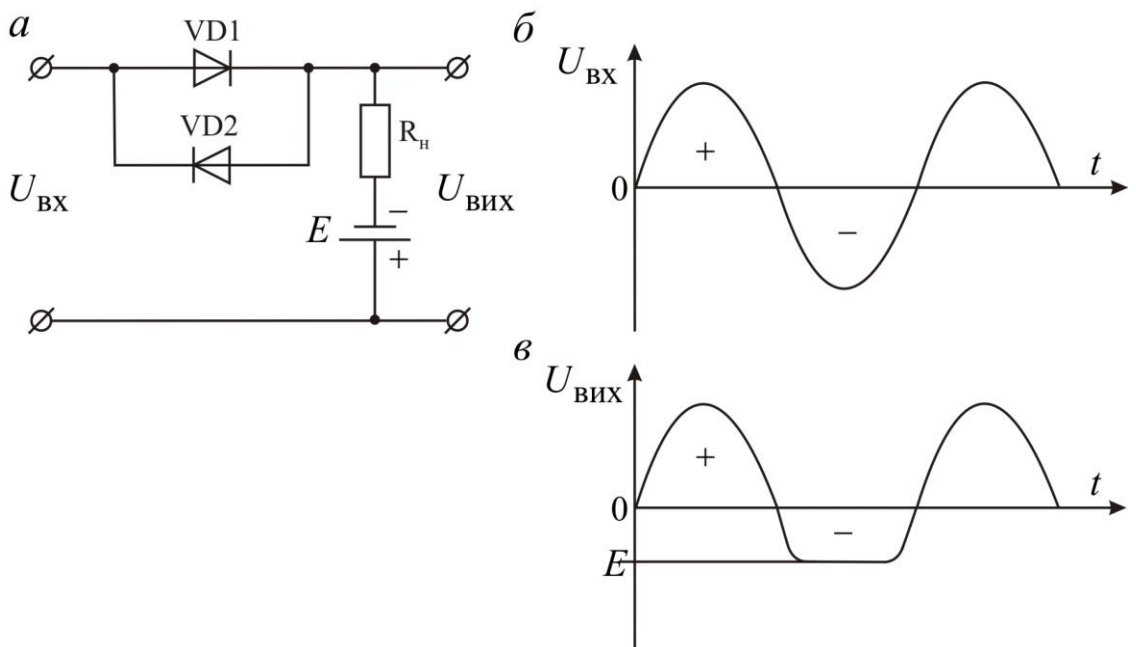


Рисунок 8.2. Дія синусоїдальної напруги на схему діодного обмежувача на ненульовому рівні: а – схема діодного обмежувача на ненульовому рівні; б – входна напруга схеми; в – вихідна напруга схеми

Суттєвий вплив на роботу послідовних діодних обмежувачів на нульовому рівні роблять паразитні ємності (рис. 8.3): між електродна ємність діода  $C_d$  та ємність  $C_o$ , яка складається із вхідної ємності наступного пристрою  $C_{\text{вх}}$  і ємності монтажу  $C_m$ . Наявність вказаних ємностей приводить до спотворення форми вихідного імпульсу.

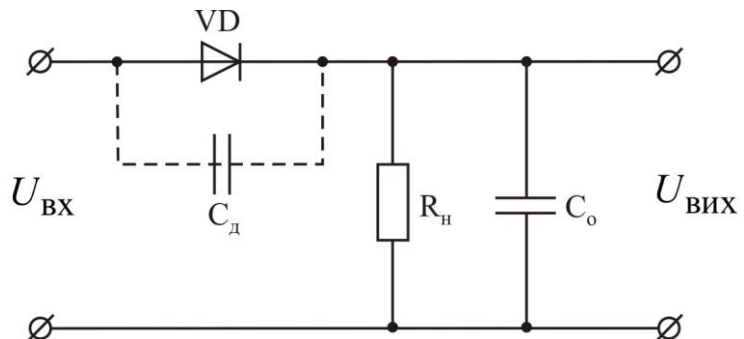


Рисунок 8.3. Схема послідовного діодного обмежувача на нульовому рівні з урахуванням паразитних ємностей

Найпростіша схема паралельного діодного обмежувача на нульовому рівні представлена на рис. 8.4.

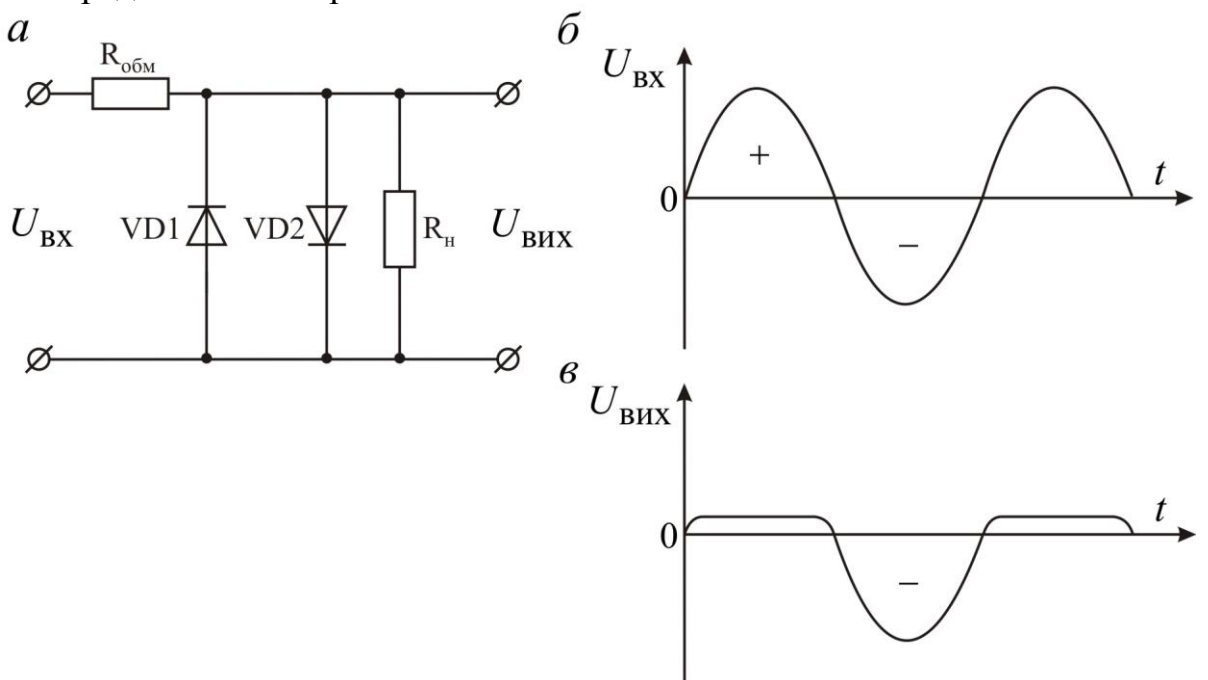


Рисунок 8.4. Дія синусоїdalnoї напруги на схему паралельного діодного обмежувача на нульовому рівні: *а* – схема паралельного діодного обмежувача на нульовому рівні;

*б* – вхідна напруга схеми; *в* – вихідна напруга схеми

Для якісного паралельного обмеження необхідно виконати умову:

$$R_{\text{пр}} \ll R_{\text{обм}} \ll R_h \ll R_{\text{зБ}}. \quad (8.5)$$

У паралельних обмежувачах можливо отримувати обмеження на

ненульовому рівні, послідовно включивши з діодами джерела напруги.

## 2. Порядок виконання роботи

- 2.1. Ознайомитися з короткими теоретичними відомостями.
- 2.2. Дослідити схему діодних обмежувачів (рис. 8.5). На вхід схеми подаючи синусоїдну напругу, зняти діаграми вихідної напруги при відповідних положеннях перемикачів.

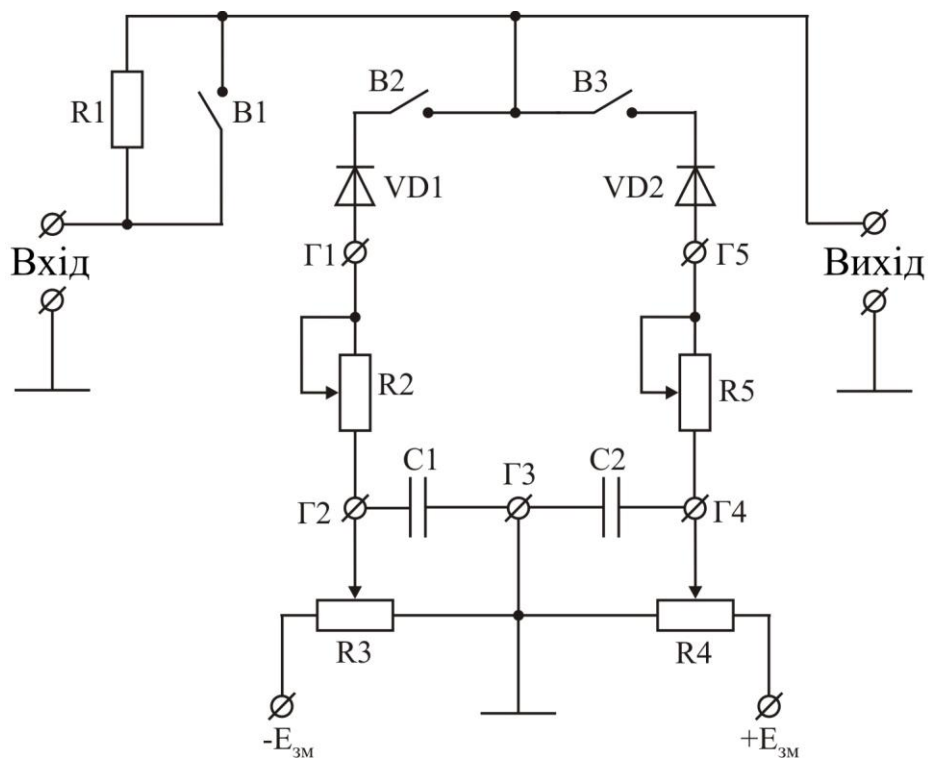


Рисунок 8.5. Схема діодних обмежувачів

- 2.2.1. Перемикач  $B_3$  замкнений, перемикачі  $B_1$  і  $B_2$  розімкнені.
- 2.2.2. Перемикач  $B_2$  замкнений, перемикачі  $B_1$  і  $B_3$  розімкнені.
- 2.2.3. Перемикач  $B_1$  розімкнений, перемикачі  $B_2$  і  $B_3$  замкнені.
- 2.2.4. Перемикачі  $B_1$ ,  $B_2$ ,  $B_3$  замкнені, зняти діаграмами вихідної напруги із гнізд  $\Gamma_1$  і  $\Gamma_5$ .

## 3. Зміст звіту

- 3.1. Назва роботи.
- 3.2. Мета роботи.
- 3.3. Короткі теоретичні відомості.
- 3.4. Схеми рис. 8.1 – 8.5.
- 3.5. Осцилограмми напруги за п. 2.2.
- 3.7. Висновки.

#### **4. Контрольні запитання**

1. Яке призначення амплітудних діодних обмежувачів?
2. Які існують типи амплітудних діодних обмежувачів?
3. Який принцип дії послідовного амплітудного діодного обмежувача?
4. Які умови повинні виконуватися для різних типів амплітудних діодних обмежувачів?

## **СПИСОК ЛІТЕРАТУРИ**

1. Положення про організацію освітнього процесу в Українському державному університеті науки і технологій – Дніпро, 2022. – 54 с.
2. Телемеханіка та автоматизовані системи управління в електроенергетиці: навч. посіб. / [Плєшков П.Г., Серебреніков С.В., Петрова К.Г.] ; М-во освіти і науки України, Кіров. нац. тех. ун-т. – Кіровоград : КНТУ, 2016. – 163 с.
3. Основи наукових досліджень: підручник / Г. В. Альошин, С. В. Лістровий, С. В. Панченко, С. І. Приходько. Харків: УкрДАЗТ, 2012. – 340 с.
4. Альошин Г. В., Панченко С. В., Приходько С. І. Радіоавтоматика в системах зв'язку: підручник. Харків: УкрДУЗТ, 2017. – 290 с.

Навчально-методичне видання

**Ляшук Віталій Михайлович  
Земський Денис Романович**

## **АВТОМАТИЗАЦІЯ СИСТЕМ ЕЛЕКТРОПОСТАЧАННЯ**

Методичні рекомендації до лабораторної роботи

Редактор А. В. Безверхня  
Комп'ютерна верстка В. В. Бердо

Формат 60x84 1/16. Ум. друк.арк . 2,44. Обл.-вид. арк. 2,47.  
Зам. № 36

Український державний університет  
науки і технологій  
Свідоцтво суб'єкта видавничої справи ДК № 7709 від 14.12.2022

Адреса видавця та дільниці оперативної поліграфії:  
вул. Лазаряна, 2, Дніпро, 49010